

## OBOSEALA MATERIALELOR ȘI MECANICA RUPERII

- LABORATOR 1 -

### DETERMINAREA LIMITEI LA OBOSEALĂ PRIN SOLICITAREA DE ÎNCOVOIERE PLANĂ DUPĂ UN CICLU ALTERNANT-SIMETRIC

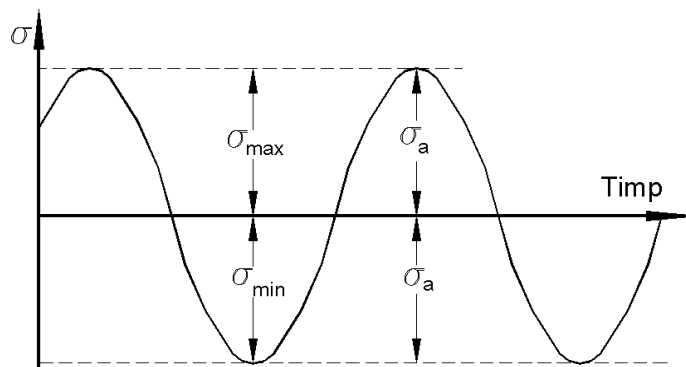
- 
- 1.1. *Inercarea după un ciclu alternat simetric*
  - 1.2. *Particularitățile solicitării prin încovoierea plană de oboseală*
  - 1.3. *Descrierea mașinii de încercat și configurația geometrică a probei utilizate*
  - 1.4. *Calculul deplasării pinului de acționare în vederea introducerii tensiunii în probă*
  - 1.5. *Efectuarea încercărilor și prelucrarea datelor experimentale*
- 

#### 1.1. Încercarea după un ciclu alternat simetric

Limita la oboseală sau rezistența la oboseală este o caracteristică mecanică ce se determină pe cale experimentală. Materialul unei piese aflate în exploatare și care este supusă variabilității ciclice a sarcinilor mecanice, se poate degrada în timp prin diferite mecanisme. Astfel, chiar dacă tensiunile introduse sunt mai mici decât limita de curgere, se poate ajunge la amorsarea unei microfisuri, propagarea acesteia și, în final, la ruperea respectivei piese. Dacă o anumită componentă este solicitată ciclic, variația tensiunilor în fiecare punct poate avea un anumit aspect. Ciclurile de solicitare referitoare la variația în timp, ciclică a tensiunilor, pot fi: oscilante (pozitiv-negativ), pulsante (pozitiv-negativ), alternante (preponderent pozitiv-preponderent negativ), și alternant simetrice. Se cunoaște faptul că ciclurile care produc cele mai mari deteriorări ale materialului (la aceeași valoare a tensiunii maxime sau minime) sunt cele alternant-simetrice. Astfel, dacă o componentă este proiectată să reziste la valoarea maximă a tensiunii funcționând după un ciclu alternant-simetric, ea va rezista și dacă în exploatare va funcționa după un alt tip de ciclu, cu condiția să nu se depășească limita la oboseală determinată prin încercarea după un ciclu alternat-simetric. Din acest motiv, majoritatea încercărilor la oboseală se fac după un ciclu alternat-simetric. De altfel, majoritatea datelor furnizate de către producătorii de materiale, privitoare la limita la oboseală sunt prezentate tot pentru încercarea după un ciclu alternant-simetric, *figura 1.1*. Un astfel de ciclu este caracterizat prin următoarele:

- Tensiunea maximă este mai mare decât zero;
- Tensiunea minimă este egală în valoarea absolută cu tensiunea maximă:  $0 > \sigma_{\min} = -\sigma_{\max}$ ;
- Valoarea tensiunii medii este egală cu zero;
- Valoarea coeficientului de asimetrie a ciclului de solicitare este:

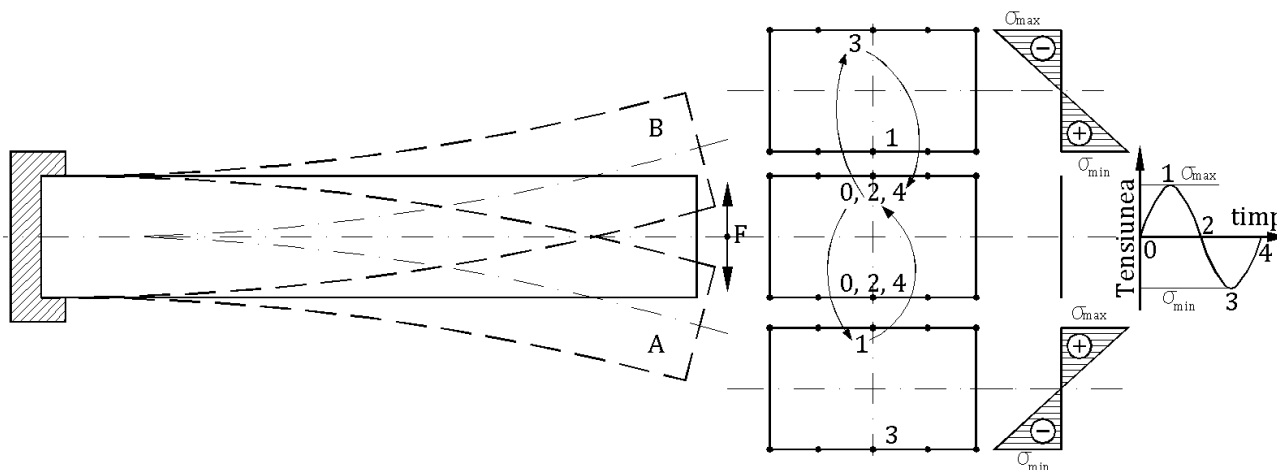
$$R = \sigma_{\min} / \sigma_{\max} = -1$$



**Fig. 1.1.** Solicitare alternant-simetrică - tensiunile minimă și maximă au aceeași valoare dar sunt de semn contrar

### 1.2. Particularitățile solicitării prin încovoierea plană de oboseală

Prin încovoierea rotativă, în afară de punctele aflate pe axa geometrică a barei **toate celelalte puncte** ale unei probe trec, succesiv, prin etapele solicitării descrise de figura 1: tensiunea maximă, tensiune zero, tensiune minimă, etc. Prin încovoierea plană numai punctele aflate la distanța cea mai mare de planul neutru al secțiunii ating tensiunile maximă și minimă posibile introduce în probă. In afară de punctele din planul neutru, si celelalte puncte sunt solicitate după un ciclu asemănător celui din *figura 1.1*, cu deosebirea că tensiunile extreme ating valori mai mici decât cele maxime și minime, *figura 1.2*.



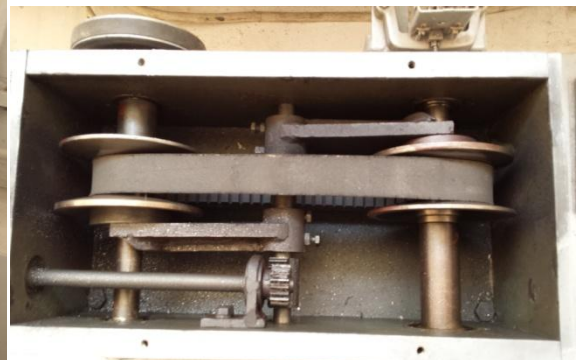
**Fig. 1.2.** Variația tensiunilor pe înălțimea secțiunii transversale din încastrare

In *figura 1.2* este prezentată variația tensiunilor pentru punctele aflate la extremitățile de sus și de jos ale secțiunii din încastrare. Tensiunile înregistrate în punctele din partea de sus a secțiunii din încastrare trec pe rând prin zero (probă nesolicitată aflată în poziție orizontală), valoare maximă,  $\sigma_{max}$  (probă aflată în zona A de solicitare), zero (probă nesolicitată aflată din nou în poziție orizontală) valoare minimă,  $\sigma_{min}$  (probă aflată în zona B de solicitare), zero (probă nesolicitată aflată din nou în poziție orizontală). Prin același stări trec și punctele aflate la extremitatea de jos a secțiunii, cu precizarea că în zona A de solicitare acestea au tensiunea  $\sigma_{min}$  iar în zona B de solicitare au tensiunea  $\sigma_{max}$ .

### 1.3. Descrierea mașinii de încercat și configurația geometrică a probei utilizate

Mașina de încercat la oboseală pentru încovoiere plană se găsește în dotarea laboratorului de la colectivul de Rezistența materialelor din cadrul Facultății de Mecanică a Universității Tehnice Iași. Conceperea și construcția acestei mașini a fost coordonată de către dl. prof. dr. ing. Paul-Doru Bârsănescu. O vedere generală a întregului sistem de încercare la încovoiere plană este prezentată în *figura 1.3*. Elementele componente sunt următoarele:

- Motor de acționare;
- Transmisie prin curea;
- Sistem de transmisie în vederea introducerii de frecvențe de încercare variabile;
- Placă rotativă;
- Sistem cu șurub în vederea modificare a excentricității pinului de acționare a culisei;
- Culisă oscilantă;
- Reazem articulat;
- Sistem mobil de prindere a epruvetei;
- Sistem de fixare a epruvetei.



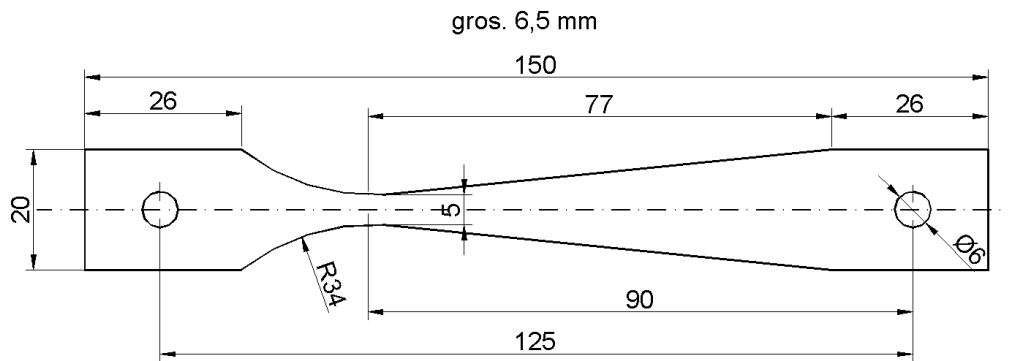
a) vedere de ansamblu;

b) vedere a sistemului de transmisie

**Fig. 1.3.** Mașina de încercat la oboseală prin încovoiere plană

Având în vedere construcția și configurația mașinii de încercat, pentru încercarea la oboseală prin încovoiere plană se utilizează epruvete având configurația prezentată în *figura 1.4*. Capătul din stânga este fixat în sistemul de prindere în timp ce capătul din dreapta se deplasează sus-jos în raport cu poziția de echilibru sub acțiunea culisei oscilante.

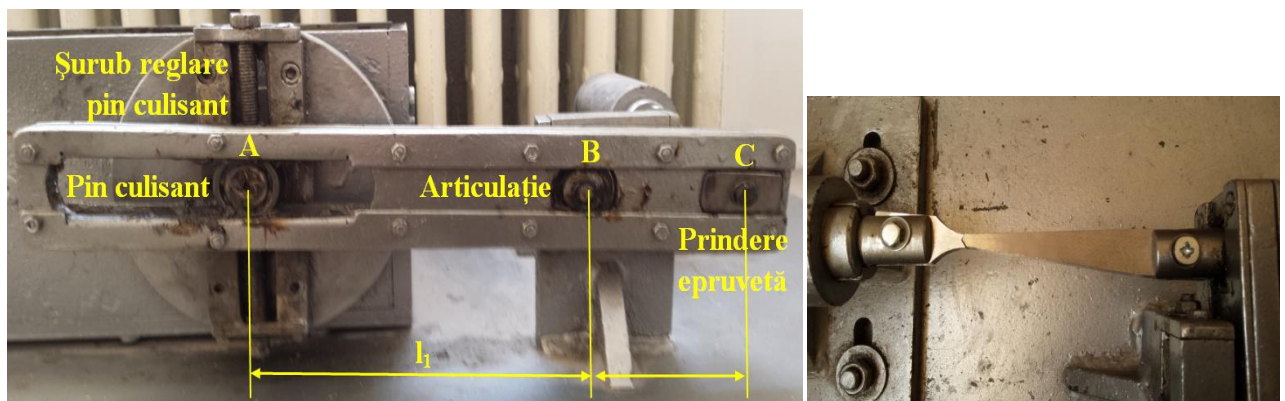
Forma geometrică a epruvetei prezentată în *figura 1.4* permite ruperea acesteia în secțiunea sa minimă. Raza de racordare utilizată este destul de mare pentru a minimiza efectul concentrării de tensiuni. Pe de altă parte, având în vedere calculele viitoare, era necesar să se cunoască exact locul unde se va rupe epruveta pentru a determina anterior, valoarea deplasării pinului de acționare al culisei oscilante care este direct proporțională cu valoarea tensiunii maxime introduse în epruvetă.



**Fig. 1.4.** Epruveta utilizată în cadrul încercării la oboseală prin încovoiere plană

#### 1.4. Calculul deplasării pinului de acționare în vederea introducerii tensiunii în probă

Pe palca rotativă a mașinii de încercat este fixat un sistem de deplasare cu șurub a pinului fixat în culisa oscilantă, *figura 1.5*.



a) culisa oscilantă;                      b) modul de fixare a probei în bacul fix și cel mobil

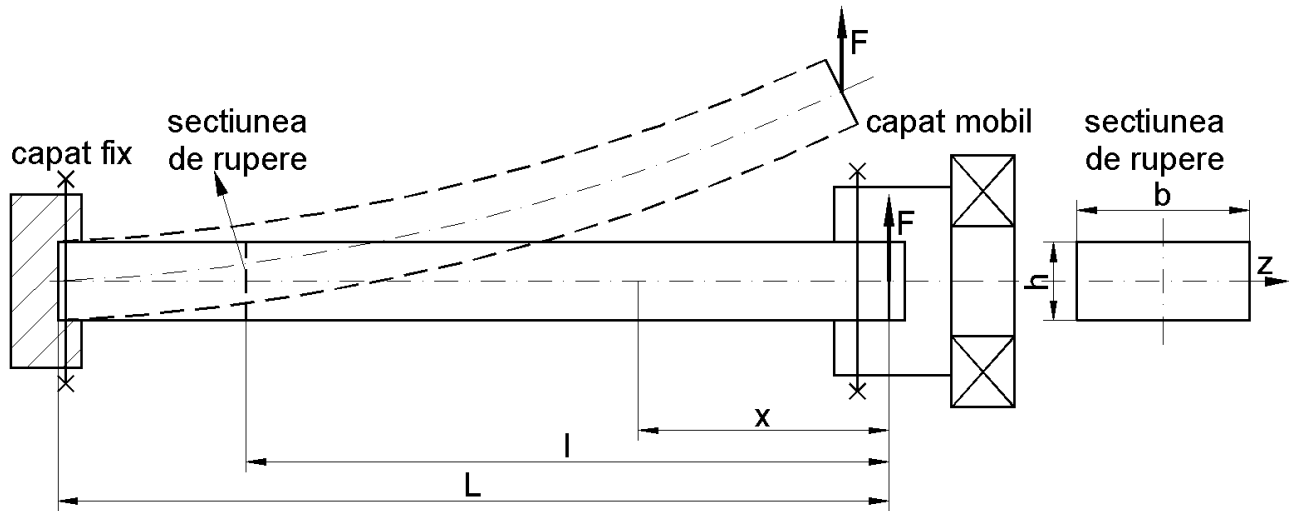
**Fig. 1.5.** Mașina de încercat la oboseală prin încovoiere plană

Tensiunea dorită se introduce în epruvetă pe baza deplasării pe distanța  $d$ , prin sistemul cu șurub fixat pe placa rotativă, pinului A fixat în culisa oscilante. Aceasta este articulată în reazemul B astfel încât, dacă pinul A se ridică pe distanța  $d$  capătul C coboară pe distanța  $v$ . La rotirea plăcii rotative, pinul A efectuează o mișcare sus-jos ceea ce face ca și capătul C al culisei oscilante, acolo unde este montat capătul mobil al probei de încercat, să efectueze o mișcare jos-sus. Atunci când culisa este orizontală, proba va fi nesolicitată, a se vedea pozițiile 0, 2 și 4 din *figura 1.1*. Astfel, în continuare vom determina relația de calcul între deplasarea pe verticală,  $d$ , a pinului aflat (deplasabil) pe placa rotativă și acționând culisa oscilantă și tensiunea maximă ce se introduce în epruvetă pe baza acestei deplasări.

La o deplasare  $d$  a pinului fixat prin șurub pe placa rotativă, capătul culisei oscilante se va deplasa pe distanța  $v$ . Legătura dintre cele două deplasări este dată de relația:

$$v = \frac{l_2}{l_1} d \quad (1.1)$$

Deplasarea  $v$  a culisei oscilante reprezintă același lucru cu deplasarea  $v$  al capătului liber al epruvetei, *figura 1.6*. Vom determina, în cele ce urmează, legătura dintre deplasarea  $v$  capătului liber al epruvetei și forța care se introduce în capătul liber al acesteia ca urmare a respectivei deplasări.



**Fig. 1.6.** Epruveta fixată la un capăt și deplasabilă la celălalt

În secțiunea  $x$  a barei din *figura 1.6*, momentul de încovoiere va fi:

$$M(x) = Fx$$

Conform relațiilor lui Euler, pentru rotirea  $\varphi(x)$  și săgeata  $v(x)$  ale secțiunii  $x$  a barei se pot scrie relațiile:

$$EI_z \varphi(x) = \frac{Fx^2}{2} + C$$

$$EI_z v(x) = \frac{Fx^3}{6} + Cx + D$$

în care  $I_z$  reprezintă momentul de inerție axial în raport cu axa  $z$ :

$$I_z = \frac{bh^3}{12} \quad (1.2)$$

$C$  și  $D$  sunt constante de integrare ce se determină prin impunerea condițiilor de rezemare, respectiv:

$$x=L \quad \begin{cases} \varphi(L)=0 \\ v(L)=0 \end{cases}$$

În aceste condiții vom avea:

$$\begin{cases} 0 = \frac{FL^2}{2} + C \\ 0 = \frac{FL^3}{6} + CL + D \end{cases}$$

de unde va rezulta:

$$\begin{cases} C = -\frac{FL^2}{2} \\ D = \frac{FL^3}{3} \end{cases}$$

astfel încât expresia pentru deplasările (săgețile) secțiunilor transversale ale barei din figura 1.6 va fi:

$$EI_z v(x) = \frac{Fx^3}{6} - \frac{FL^2}{2}x + \frac{FL^3}{3}$$

Pe noi ne interesează săgeată în capătul deplasabil, la  $x=0$ , care va fi:

$$v(0) = v = \frac{FL^3}{3EI_z}$$

de unde, ținând cont și de relația (1.2):

$$F = \frac{vEb^3}{4L^3} \quad (1.3)$$

Pe de altă parte, tensiunea maximă, înregistrată pe suprafețele exterioare, din partea de sus și de jos ale barei, în secțiunea de rupere, (aflată la distanța  $l$  de capătul deplasabil) este dată de relația:

$$\sigma = \frac{M_i(x)}{W_z} = \frac{Fl}{\frac{bh^2}{6}}$$

de unde

$$F = \frac{\sigma bh^2}{6l} \quad (1.4)$$

Egalând relațiile (1.3) și (1.4), legătura dintre tensiunea maximă introdusă în bară în secțiunea ce urmează a se rupe și deplasarea capătului liber al barei (similară cu deplasarea  $v$  a capătului C al culisei oscilante) va fi:

$$\sigma_{\max} = v \frac{3lEh}{2L^3}$$

și ținând cont de relația (1.1) vom avea:

$$\sigma_{\max} = \frac{l_2}{l_1} d \frac{3lEh}{2L^3} \quad (1.5)$$

ce reprezintă relația de calcul pentru tensiunea maximă introdusă în probă atunci când deplasarea pinului din culisa oscilantă și aflat pe placa rotativă se deplasează cu ajutorul sistemului cu șurub pe distanța  $d$ . Celelalte mărimi cuprinse în relația (1.5) au valorile:

$$l_1 = 170 \text{ mm};$$

$$l_2 = 78 \text{ mm};$$

$l \approx 90$  mm (se va măsura pe fiecare probă);  
 $L \approx 125$  mm (se va măsura pe fiecare probă);  
 $h = 6,5$  mm (se va măsura pe fiecare probă);  
 $E = 21 \cdot 10^4$  N/mm<sup>2</sup> (dacă se utilizează probe din oțel).

### 1.5. Efectuarea încercărilor și prelucrarea datelor experimentale

În cadrul lucrării de laborator se vor face încercări până la rupere a trei epruvete. Acestea trebuie să aibă aceeași configurație geometrică, aceleași dimensiuni și să aibă aceeași calitate a suprafețelor. Se impune acest lucru pentru ca aceste caracteristici descrise mai sus să nu influențeze asupra duratei de viață la oboseală. Tensiunile de încercare vor fi relativ mari pentru ca epruvetele să se rupă destul de repede. În consecință, înainte de încercările de oboseală se va face o încercare statică a unei epruvete confecționată din același material în vederea determinării limitei de curgere. Pentru prima încercare efectuată se va introduce în epruvetă, prin deplasarea  $d$  a pinului din culisa oscilantă, o tensiune maximă cât mai apropiată de limita de curgere a materialului. În aceste condiții, este de așteptat ca epruveta să se rupă după un număr relativ scăzut de cicluri de solicitare. Următoarele două epruvete se vor solicita la tensiuni maxime mai mici decât anterioara. Totuși, pentru ca epruvetele să se rupă după un număr mic de cicluri de solicitare, este nevoie ca tensiunea maximă de solicitare să fie cât mai mare.

În final, perechile de puncte  $(\sigma_{\max}, N)$  în care  $N$  reprezintă numărul de cicluri de solicitare până la rupere, se vor așeza pe o diagramă de tip Wöhler, figura 1.7. Evident că, pentru determinarea limitei la oboseală,  $\sigma_{\lim}$  ar trebui solicitate până la rupere un număr mare de probe identice, în aceleași condiții, variind doar tensiunea maximă de solicitare.

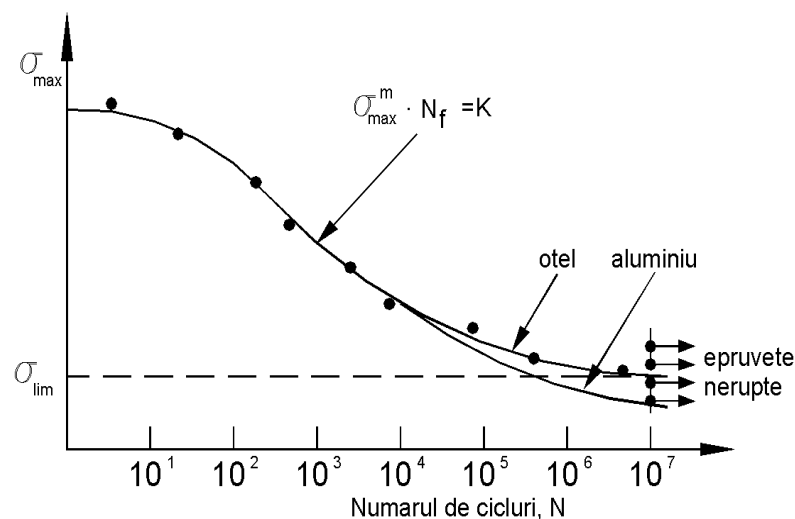


Fig. 1.7. Curba de oboseală sau curba Wöhler

### Bibliografie

1. BUZDUGAN G „Rezistența Materialelor”, Ed. Academiei R.S.R., București, 1986
2. COLAN H. ș.a., „Studiul metalelor”, Editura Didactică și Pedagogică, București, 1983

3. DEUTSCH I, „Rezistența Materialelor”, Ed. Didactică și Pedagogică, București, 1979
4. DEUTSCH I, GOIA I, CURTU I, NEAMȚU T, SPERCHEZ F, „Probleme de Rezistența Materialelor”, Ed. Didactică și Pedagogică, București, 1983
5. DOBRE I, „Curs de Rezistența Materialelor”, Vol. 2, Lito I. P. “T. V”. Timișoara, 1980
6. DUMITRU I, NEGUȚ N, „Curs de Rezistența Materialelor”, Lito I.P. “T.V.” Timișoara, 1984
7. DUMITRU I, FAUR N., „Elemente de calcul și aplicații în rezistența materialelor”, pdf
8. FAUR, N., DUMITRU, I., „Diferențe finite și elemente finite”, Editura Mirton, Timișoara, 1997
9. GOANTA, Viorel, Curs Oboseala și Mecanica ruperii, 2016



## OBOSEALA MATERIALELOR ȘI ELEMENTE DE MECANICA RUPERII

- LABORATOR 2 -

### DETERMINAREA LIMITEI LA OBOSEALĂ PRIN SOLICITAREA DE ÎNTINDERE-COMPRESIUNE DUPĂ UN CICLU ALTERNANT

---

2.1. *Caracteristicile ciclului alternant*

2.2. *Particularitățile solicitării prin întindere-compresiune*

2.3. *Descrierea mașinii de încercat și configurația geometrică a probei utilizate*

2.4. *Rezultate obținute la încercarea unor epruvete prelevată din șine cale ferată*

2.5. *Concluzii și observații*

2.6. *Raportul furnizat după încercările la oboseală*

---

#### 2.1. Caracteristicile ciclului alternat

Fenomenul de oboseală trebuie analizat din perspectiva observațiilor și pe baza unor determinări experimentale. Este indicat ca rezistența la oboseală să se facă pe piese sau chiar pe structuri întregi. Având în vedere costul ridicat al unor astfel de încercări, în special pentru oțeluri, se preferă încercările pe epruvete (standardizate sau nu) și extrapolarea rezultatelor la piese, pe baza coeficienților de siguranță și având în vedere coeficienții de concentrare a tensiunilor, calitatea suprafeței, dimensiuni, mediul de lucru, etc., rezultatele obținute prin încercările la oboseală efectuate pe epruvete pot fi extrapolate la piese, în condițiile în care se ține seama de concentratorii de tensiune, calitatea suprafeței, dimensiune, mediul de lucru, etc. Pentru a putea face aceste extrapolări trebuie să se țină seama de următoarele ipoteze care se referă la materialul din care sunt confecționate epruvetele și piesele:

- Atunci când tensiunea variază de mai multe ori, materialele se pot rupe la tensiuni mai mici decât tensiunea ce se înregistrează la rupere prin solicitare statică sau chiar mai mici decât tensiunea de curgere;
- Se poate spune că, dacă la o anumită tensiune, un material nu se rupe după un număr suficient de ridicat de cicluri de solicitare, se consideră valoarea acelei tensiuni ca fiind limită. În aceleași condiții de solicitare, sub această valoare a tensiunii materialul va rezista pe întreaga lui durată de funcționare. Cea mai mare tensiune, pentru care materialul nu se rupe după un număr practic nelimitat de cicluri de solicitare poartă numele de **limită la oboseală**.

Limita la oboseală reprezintă o caracteristică intrinsecă a materialelor, depinzând totuși de felul ciclului de solicitare, iar pentru unele materiale și de frecvența acestuia. Limita la oboseală se notează cu  $\sigma_R$ , în care R reprezintă coeficientul de asimetrie a ciclului de solicitare.

Deși cea mai periculoasă solicitare variabilă ciclică este cea alternant-simetrică, de multe ori este preferabil ca determinările experimentale să se facă după un ciclu de solicitare cât mai apropiat de cel ce va fi urmat în exploatare.

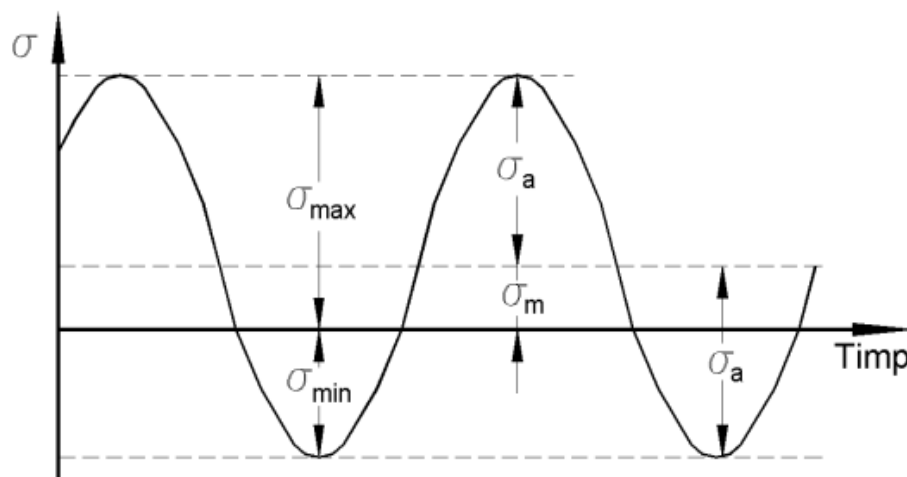
În *figura 2.1* se variază tensiunea introdusă într-un punct al unei epruvete în raport cu timpul. Punctul considerat este cel în care tensiunea introdusă la vârf de ciclu are cea mai mare valoare în raport cu toate punctele din volumul epruvetei.

Această variație este descrisă de următorii parametri:

- $\sigma_{\max}$  este tensiunea maximă din epruvetă;
- $\sigma_{\min}$  este tensiunea minimă din epruvetă;
- $\sigma_m$  este valoarea tensiunii medii a ciclului;
- $\sigma_a$  este amplitudinea constantă a ciclului;

Solicitare alternantă atunci când tensiunea își schimbă semnul în timpul solicitării:

$$\begin{aligned} \sigma_{\min} / \sigma_{\max} < 0; \\ \sigma_{\min} < 0; \sigma_{\max} > 0 \\ \sigma_{\max} > |\sigma_{\min}| \\ \sigma_m > 0; \sigma_a \neq 0 \end{aligned}$$



**Fig. 2.1.** Caracteristicile unui ciclu alternant preponderent pozitiv

Această variație poate fi descrisă de funcția:

$$\sigma(t) = \sigma_m + \sigma_a \sin(2\pi ft + \varphi) \quad (2.1)$$

în care:

- $\sigma_m$  este valoarea tensiunii medii a ciclului;
- $\sigma_a$  este amplitudinea constantă a ciclului;
- $f$  reprezintă frecvența circulară în cicluri pe unitatea de timp;
- $\varphi$  este unghiul de fază inițial exprimat în radiani.

Există o interdependență între tensiunile minimă și maximă și tensiunile medii și amplitudinea ciclului descrisă de următoarele relații:

$$\begin{cases} \sigma_{max} = \sigma_m + \sigma_a \\ \sigma_{min} = \sigma_m - \sigma_a \\ \sigma_m = \frac{\sigma_{max} + \sigma_{min}}{2} \\ \sigma_a = \frac{\sigma_{max} - \sigma_{min}}{2} \end{cases} \quad (2.2)$$

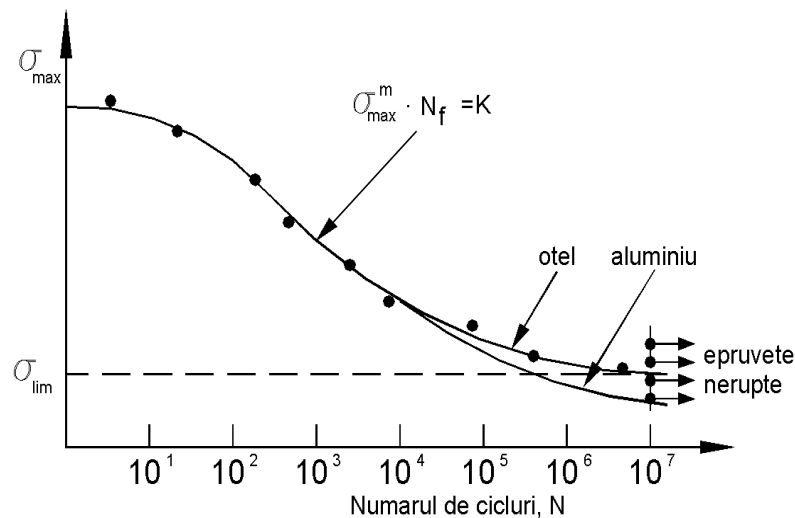
Alte elemente caracteristice ale ciclului de solicitare sunt:

- caracteristica ciclului calculată ca raport între valorile absolute ale amplitudinii și tensiunii medii:  $k = \frac{\sigma_a}{\sigma_m}$ ;
- coeficientul de asimetrie a ciclului calculat ca raport între tensiunea minimă și cea maximă:  $R = \frac{\sigma_{min}}{\sigma_{max}}$ ;
- variația tensiunii:  $\Delta\sigma = \sigma_{max} - \sigma_{min} = 2\sigma_a = \sigma_{max}(1 - R)$ ;
- perioada T, respectiv frecvența care sunt corelate conform relației:  $T = \frac{1}{f}$ .

În continuare se prezintă câteva relații de interdependență evidente și care sunt rezultate din cele de mai sus:

$$\sigma_m = \frac{\sigma_{max}}{2}(1 - R); \quad R = \frac{1 - k}{1 + k}; \quad k = \frac{1 - R}{1 + R}$$

Pentru determinarea limitei la oboseală trebuie trasată curba de durabilitate  $\sigma$ -N, în care  $\sigma$  reprezintă tensiunea maximă de solicitare iar N reprezintă numărul de cicluri de solicitare - până la rupere în cazul solicitărilor la tensiuni mai mari decât limita la oboseală. Se cunoaște faptul că, prin solicitarea de oboseală în aceleași condiții, apare o anumită împrăștiere a rezultatelor. Ca urmare, pentru fiecare nivel al tensiunii de solicitare, în funcție și de comportarea materialului, sunt necesare un număr de 5-7 epruvete. În cadrul încercărilor de oboseală efectuate pe epruvete netede se notează valoarea tensiunii maxime și a numărului de cicluri la care a avut loc ruperea epruvetei. Ordinea de încercare este de la tensiuni mari către tensiuni mici, prima treaptă de încercare efectuându-se la  $\sigma_{max}=0,6\sigma_r$ . Se continuă încercările până când se ajunge astfel încât cel puțin o epruvetă să nu se mai rupă. Cu perechile de valori  $\sigma_{max,i}$ - $N_i$  se poate trasa o curbă ca cea din figura 2.2 denumită și curba Wöhler.



**Fig. 2.2.** Curba de oboseală sau curba Wöhler

Valoarea tensiunii maxime,  $\sigma_{\max}$ , pentru care presupunem că nu se mai produce ruperea epruvetei, supusă la un număr oricât de mare de cicluri de solicitare, poartă numele de **limită teoretică la oboseală**. Se presupune că, dacă până la  $N_0$  cicluri de solicitare epruvetele nu se rup, atunci ele nu se vor rupe oricâte cicluri de solicitare i-am aplica. În practică, pentru un anumit grad de asimetrie a ciclului R, **limita la oboseală** se definește ca fiind valoarea tensiunii maxime la care se ajunge după un număr  $N_0$  de cicluri de solicitare, în condițiile în care epruveta nu s-a rupt. În mod obișnuit în funcție de material, epruvetele se supun la un anumit număr limită de cicluri de solicitare. Numărul de cicluri de solicitare pentru care epruvetele nu se mai rup, pentru diferite materiale sunt:

- $N_0=2 \cdot 10^6 \dots 2 \cdot 10^7$  pentru oțeluri;
- $N_0=2 \cdot 10^7 \dots 2 \cdot 10^8$  pentru aliaje ușoare;
- $N_0=2 \cdot 10^6$  pentru lemn;
- $N_0=2 \cdot 10^6 \dots 3 \cdot 10^6$  pentru beton.

Limita la oboseală se notează cu  $\sigma_R$ , în care R reprezintă valoarea coeficientului de asimetrie, care trebuie să fie constantă pe parcursul tuturor determinărilor. Pentru solicitarea axială se adaugă la indice și litera „t” pentru tracțiune, respectiv „c” pentru compresiune. Exemple de notații:

- $\sigma_{0,7t}$  – limita la oboseală după un ciclu oscilant, cu proba supusă la tracțiune;
- $\tau_0$  - limita la oboseală după un ciclu pulsant, cu proba supusă la răsucire;
- $\sigma_{-1}$  – limita la oboseală după un ciclu alternant simetric, cu proba supusă la încovoiere.

## **2.2. Mașina și epruvetele utilizate pentru încercarea la oboseală după un ciclu alternant**

Determinarea limitei la oboseală se face pe baza încercărilor de epruvete netede la cicluri de solicitare pe mașini de încercare specializate în acest scop. Încercările la oboseală au fost efectuate conform prevederilor standardului **ISO 1099, “Metallic materials — Fatigue testing — Axial force-controlled method”**.

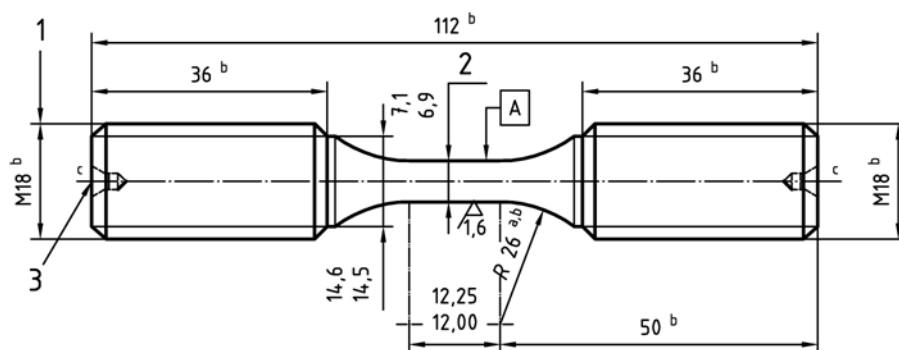
Mașinile de încercat la oboseală trebuie să asigure ciclul de solicitare dorit, fără ca elemente din construcția acestor mașini să se deterioreze ele însele la oboseala indusă. O atenție deosebită trebuie acordată prinderii epruvetelor în dispozitivele mașinii, astfel încât pentru toate probele fixarea în bacuri să permită diferențieri de la probă la probă. Încercările se vor efectua pe aceeași mașină și cu același coeficient de asimetrie R.

În cadrul lucrării de laborator vom utiliza **mașina universală de încercat de tip INSTRON 8801**, (model nr.: 999-110-1319; serial nr.: CP2756K-P24, celula de forță: 64876, dynamic rating  $\pm 100$  kN), figura 2.3, pe care este instalat softul WaveMatrix, destinat încercărilor la solicitări de oboseală. Mașina este capabilă să efectueze încercări de oboseală în limita a 25 Hz frecvența de solicitare. În cadrul prezentelor încercări, frecvențele de solicitare, pentru toate probele, au fost stabilite la **20 Hz**. Temperatura inițială trebuie să fie de aproximativ 25 °C.

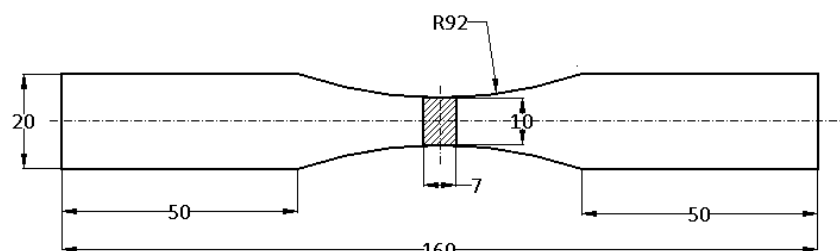


**Fig. 2.3.** Mașina de încercat Instron 8801 – solicitarea la oboseală

Epruvetele pentru încercarea la oboseală trebuie confecționate cu mare grijă. O atenție deosebită trebuie acordată asigurării calității suprafeței. De asemenea, epruveta trebuie confecționată astfel încât să nu existe variații bruște ale secțiunii. Toate epruvetele solicitate, care pot ajunge și la un număr de 50, trebuie executate în aceleași condiții, având strict aceeași formă și dimensiuni și aceeași calitate a suprafeței. Exemple de epruvete utilizate pentru solicitarea la oboseală sunt prezentate în *figura 2.4, a și b*. Se constată că se pot utiliza atât probe cu secțiunea transversală de formă circulară cât și probe cu secțiunea transversală de formă rectangulară. De asemenea, secțiunea transversală poate fi calibrată pe o anumită lungime sau se poate face o secțiune minimă de unde să se rupă proba în mod obligatoriu.

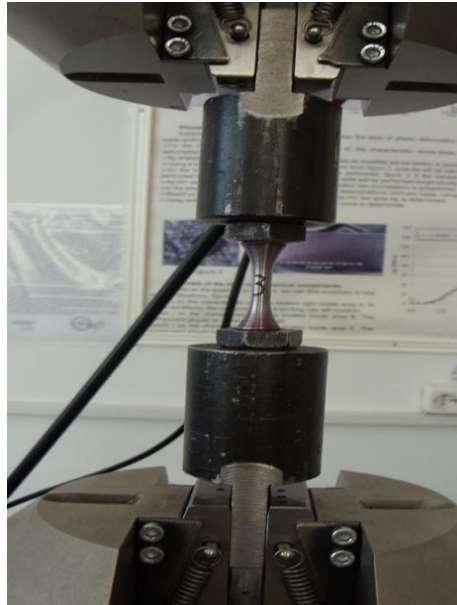


a) probă rotundă



b) probă plată

**Fig. 2.4.** Configurația probelor ce pot fi utilizate pentru determinarea limitei la oboseală



**Fig. 2.5.** Dispozitiv pentru solicitarea la oboseală

Dispozitivul de încercare la oboseală este prezentat în *figura 2.5*. Se pot observa următoarele:

- se utilizează două contrapiulițe în vederea preluării jocurilor din filetele prevăzute în bacurile rotunde, având în vedere faptul că marea majoritate a încercărilor se efectuează după un ciclu alternat (unde avem atât tracțiune cât și compresiune);
- zonele de prindere în bacurile mașinii de încercat sunt prelucrate prin frezare, în vederea alinierii atât a dispozitivelor dar și a probei de încercat cu direcția forței de încercare;
- Strângerea bacurilor mașinii de încercat se realizează hidraulic, astfel încât nu există posibilități de scăpare sau alunecare a dispozitivelor din bacurile mașinii de încercat la reversul forței.

În aceste condiții, se poate spune că se realizează o aliniere corectă a axei epruvetei cu direcția forței de încercare și că toate cotele au fost strânse astfel încât nu au existat jocuri între elementele de fixare ale epruvetei.

În continuare se prezintă rezultatele obținute și trasarea curbelor Wöhler prin încercarea la oboseală după un ciclu-alternant simetric, în cazul unor epruvete prelevate din șine de cale ferată. Si în cadrul lucrării de laborator se va urma procedeul descris mai jos, primul pas fiind determinarea rezistenței la tracțiune a unei epruvete confecționată din același material cu cel ce urmează a fi încercat.

#### **2.4. Rezultate obținute la încercarea unor epruvete prelevată din șine cale ferată**

Pe baza încercării de tracțiune s-a constatat faptul că rezistența la tracțiune este de aprox.  $\sigma_{UTS} = 950$  MPa. În aceste condiții, tensiunea de plecare pentru încercarea primei epruvete a fost de 610 MPa ( $=0,64 \cdot \sigma_{UTS}$ ). Prima epruvetă încercată a fost de la șina '86, după obținerea primelor rezultate ne-am concentrat pe o zonă mai mică de tensiuni (ase vedea încercările pentru proba NOUA).

În *figura 2.6* și *figura 2.7* se observă probele solicitate la oboseală în condițiile precizate mai sus. Se fac următoarele precizări în ceea ce privește probele nerupte:

*Pentru probele solicitate la oboseală din șina '85*

- Proba 2 a fost solicitată după un ciclu pulsant la tensiunea de 331 MPa un număr de 5 milioane de cicluri;
- Probele 8 și 5 la tensiunile de 285 și respectiv 271 MPa au rezistat mai mult de 5 milioane de cicluri;
- Proba 9 a fost solicitată la 310 MPa și a rezistat 5691298 de cicluri, fiind totuși nerelevantă, în condițiile în care la probe solicitate la tensiuni mai mici de 310 MPa s-au produs ruperea.



**Fig. 2.6.** Probele solicitate la oboseală din șina '85

*Pentru probele solicitate la oboseală din șina '86*

- Proba 4 a fost solicitată după un ciclu pulsant la tensiunea de 332 MPa un număr de 5 milioane de cicluri;
- Proba 5 a fost solicitată la 298 MPa și a rezistat 5153529 de cicluri.



a)

b)

**Fig. 2.7.** Probele solicitate la oboseală din șinele '86 (a) și NOUA (b)

Pentru probele solicitate la oboseală din șina NOUA

- Proba 3 a fost solicitată la 311 MPa și a rezistat 5153529 de cicluri.

În *tabelele 2.1, 2.2 și 2.3* sunt prezentate rezultatele obținute în urma încercărilor la oboseală a epruvetelor confecționate din cele trei tipuri de șină: șină '85, șină '86 și șină NOUA.

**Tab. 2.1.** Rezultate obținute la oboseală pentru șina 85'

| Nr. probă | d <sub>1</sub><br>[mm] | d <sub>2</sub><br>[mm] | d <sub>med</sub><br>[mm] | A<br>[mm <sup>2</sup> ] | Forța<br>[N] | Tensiunea<br>maximă<br>[MPa] | Număr de<br>cicluri |
|-----------|------------------------|------------------------|--------------------------|-------------------------|--------------|------------------------------|---------------------|
| 3         | 6.92                   | 6.94                   | 6.93                     | 37.72                   | ±14000       | 371.17                       | 27833               |
| 1         | 6.87                   | 6.87                   | 6.87                     | 37.07                   | ±13000       | 350.70                       | 87836               |
| 6         | 6.9                    | 6.88                   | 6.89                     | 37.28                   | ±12700       | 340.62                       | 125320              |
| 7         | 7.06                   | 6.94                   | 7.00                     | 38.48                   | ±12000       | 311.81                       | 180000              |
| 4         | 6.95                   | 6.91                   | 6.93                     | 37.72                   | ±11200       | 296.94                       | 428792              |
| 8         | 6.9                    | 6.9                    | 6.90                     | 37.39                   | ±10800       | 288.83                       | 5050000             |
| 5         | 6.91                   | 6.91                   | 6.91                     | 37.50                   | ±10200       | 271.99                       | 5137000             |
| 9         | 6.87                   | 6.87                   | 6.87                     | 37.07                   | ±11500       | 310.24                       | 5691298             |
| 2-pulsant | 6.96                   | 6.91                   | 6.94                     | 37.77                   | +12500       | 330.92                       | 5000000             |

**Tab. 2.2.** Rezultate obținute la oboseală pentru șina 86'

| Nr. probă | d <sub>1</sub><br>[mm] | d <sub>2</sub><br>[mm] | d <sub>med</sub><br>[mm] | A<br>[mm <sup>2</sup> ] | Forța<br>[N] | Tensiunea<br>[MPa] | Număr de<br>cicluri |
|-----------|------------------------|------------------------|--------------------------|-------------------------|--------------|--------------------|---------------------|
| 1         | 6.88                   | 6.89                   | 6.89                     | 37.23                   | ±22700       | 609.72             | 27833               |
| 6         | 6.99                   | 6.93                   | 6.96                     | 38.05                   | ±17000       | 446.83             | 87836               |
| 2         | 6.89                   | 6.87                   | 6.88                     | 37.18                   | ±16357       | 439.98             | 125320              |
| 7         | 6.82                   | 6.8                    | 6.81                     | 36.42                   | ±13800       | 378.87             | 180000              |
| 8         | 6.91                   | 6.93                   | 6.92                     | 37.61                   | ±12400       | 329.70             | 428792              |
| 9         | 6.92                   | 6.86                   | 6.89                     | 37.28                   | ±11900       | 319.17             | 5050000             |
| 3         | 6.84                   | 6.88                   | 6.86                     | 36.96                   | ±11400       | 308.44             | 5137000             |
| 5         | 6.95                   | 6.88                   | 6.92                     | 37.56                   | ±11200       | 298.22             | 5691298             |
| 4-pulsant | 6.92                   | 6.91                   | 6.92                     | 37.56                   | +12500       | 332.84             | 5000000             |

**Tab. 2.3** Rezultate obținute la oboseală pentru șina NOUA

| Nr. probă | d <sub>1</sub><br>[mm] | d <sub>2</sub><br>[mm] | d <sub>med</sub><br>[mm] | A<br>[mm <sup>2</sup> ] | Forța<br>[N] | Tensiunea<br>[MPa] | Număr de<br>cicluri |
|-----------|------------------------|------------------------|--------------------------|-------------------------|--------------|--------------------|---------------------|
| 1         | 6.85                   | 6.85                   | 6.85                     | 36.85                   | ±12500       | 339.19             | 244667              |
| 2         | 7.00                   | 6.98                   | 6.99                     | 38.37                   | ±12000       | 312.71             | 437093              |
| 3         | 6.84                   | 6.88                   | 6.86                     | 36.96                   | ±8050        | 217.80             | 5100000             |

Curbele de tip Wöhler, de variație a tensiunii maxime aplicate probei și numărul de cicluri de solicitare (pentru unele probe, până la rupere) se pot vedea în *figurile 2.8, 2.9 și 2.10*. Un grafic cu suprapunerea celor trei curbe este prezentat în *figura 2.11*.



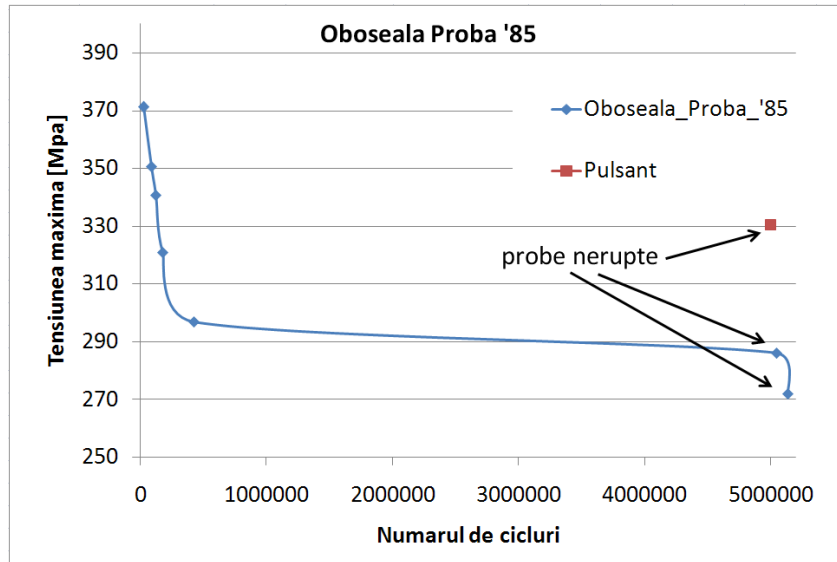


Fig. 2.8. Curba Wöhler pentru probele din șina '85

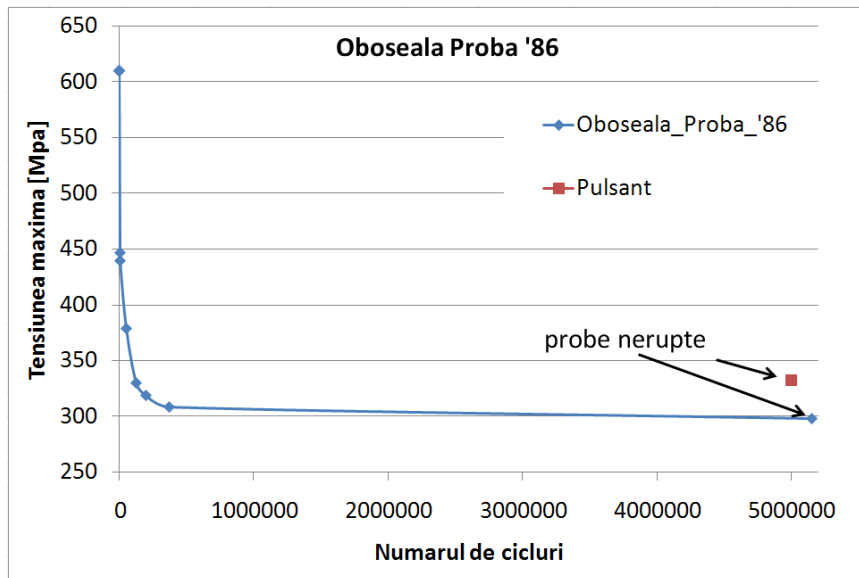


Fig. 2.9. Curba Wöhler pentru probele din șina '86

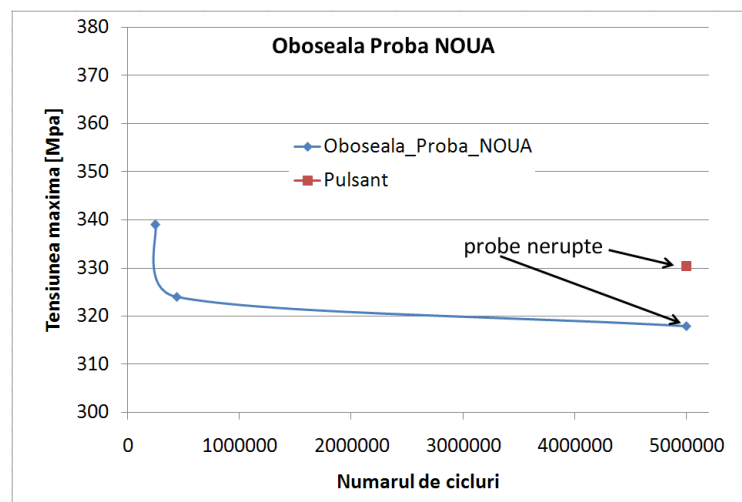


Fig. 2.10. Curba Wöhler pentru probele din șina NOUA

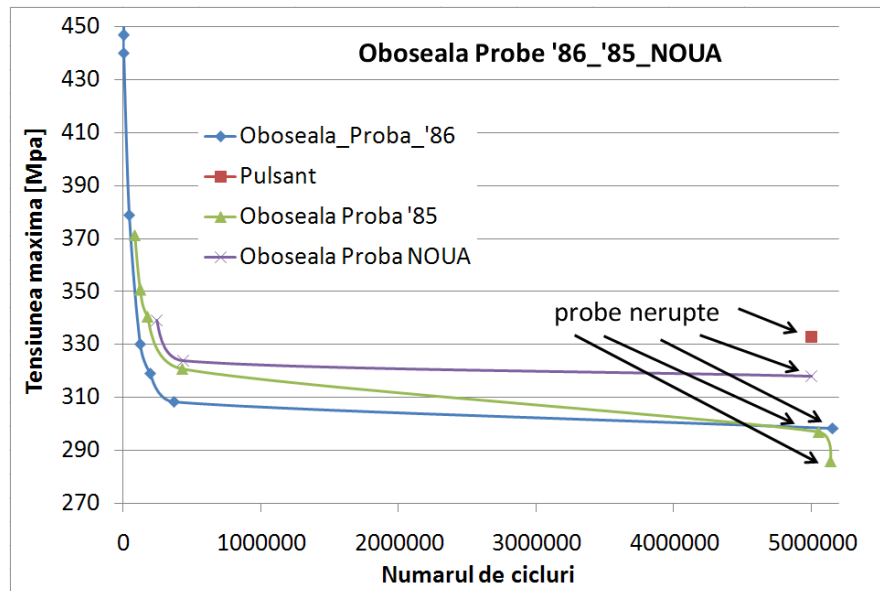


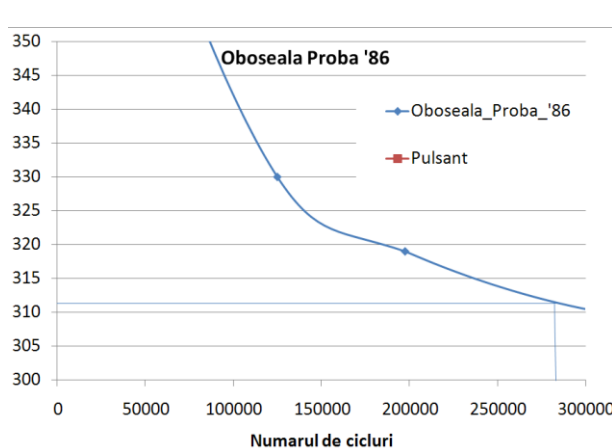
Fig. 2.11. Curba Wöhler pentru probele din șina '85+ șina '86+șina NOUA

## 2.5. Concluzii și observații

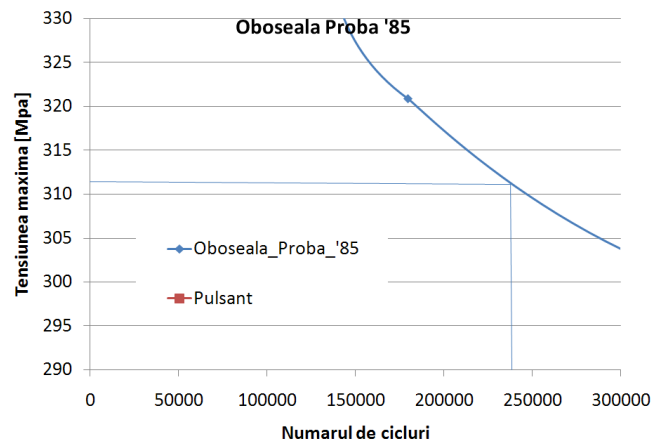
Se poate considera că limita la oboseală pentru cele trei tipuri de șină are următoarele valori:

$$\sigma_{lim,șina'85}=285 \text{ MPa}; \sigma_{lim,șina'86}=298 \text{ MPa}; \sigma_{lim,șinaNOUA}=311 \text{ MPa};$$

Se mai poate observa faptul că în apropierea valorii de 311 MPa, cât reprezintă limita la oboseală pentru șina NOUA, la celelalte șine se produce ruperea după un număr relativ mic de cicluri de solicitare: 275000, respectiv 240000 de cicluri, *figura 2.12 a și b*. In aceste condiții se poate afirma faptul că, dacă șinele '85, și '86 au avut aceleași caracteristici de rezistență la oboseală ca șina NOUA, acestea au suferit deteriorări în funcționare.



a)



b)

Fig. 2.12. Porțiuni din curba Wöhler pentru probele din șina '85 și șina '86

Din punct de vedere a rezistenței la oboseală, deteriorarea D poate fi determinată de criteriul limitei la oboseală, sub forma:

$$D_{\sigma_{\text{șina}}'85} = \frac{\sigma_{\text{șinaNOUA}}^{\text{lim}} - \sigma_{\text{șina}'85}^{\text{lim}}}{\sigma_{\text{șinaNOUA}}^{\text{lim}}} \cdot 100 = \frac{318-285}{318} \cdot 100 = 10,37\% \quad (2.3)$$

$$D_{\sigma_{\text{șina}}'86} = \frac{\sigma_{\text{șinaNOUA}}^{\text{lim}} - \sigma_{\text{șina}'86}^{\text{lim}}}{\sigma_{\text{șinaNOUA}}^{\text{lim}}} \cdot 100 = \frac{318-298}{318} \cdot 100 = 6,28\% \quad (2.4)$$

Se constată faptul că, deteriorarea produsă prin pierderea rezistenței la oboseală în raport cu capacitatea portantă inițială, nu are valori mari, respectiv: 10,37% și 6,28%. Din acest punct de vedere se poate spune că, dacă se ia ca reper șina NOUA, șinele ,85' și '86 mai pot lucra o perioadă supuse fiind la solicitarea la oboseală, înainte ca deteriorarea să ajungă la valori mai mari.

## 2.6. Raportul furnizat după încercările la oboseală

Pentru seria de încercări efectuate la oboseală, raportul de încercare trebuie să conțină următoarele informații:

- a) o trimitere la prevederile standardului **ISO 1099, "Metallic materials — Fatigue testing — Axial force-controlled method"**;
- b) materialul testat, caracteristicile sale metalurgice, proprietăți mecanice, precum și orice tratament termic efectuat asupra piesei (piesele) de testare;
- c) amplasarea probei și modul de prelevare a acesteia din materialul de bază;
- d) forma și dimensiunile nominale ale piesei de încercare;
- e) starea suprafeței piesei de încercare.

Raportul de încercare trebuie să conțină următoarele informații pentru fiecare piesă ce a fost supusă încercării de oboseală:

- 1) dimensiunile secțiunii transversale;
- 2) forța minimă și maximă aplicate;
- 3) condițiile de introducere a tensiunii;
- 4) frecvența și durata de viață la oboseală (numărul maxim de cicluri ce caracterizează durata de viața nelimitată – dacă este cazul - pentru acel material);
- 5) Descrierea mașinii utilizate pentru testare: tipul, numărul de serie, celula de sarcină și numărul de serie al acesteia, numărul și descrierea dispozitivului adaptor de prindere;
- 6) Temperatura piesei de încercare în cazul în care are loc încălzirea (dacă este mai mare de 35 ° C);
- 7) temperatura minimă a aerului și umiditatea relativă maximă;
- 8) criteriul utilizat pentru sfârșitul testului, respectiv, durata acestuia (de exemplu, 10<sup>7</sup> de cicluri), sau ruperea epruvetei încercate, sau orice alt criteriu;
- 9) orice observații speciale sau abateri de la condițiile de testare descrise în standard.

În plus, rezultatele testului pot fi prezentate grafic.

## **Bibliografie**

- [1] \*\*\*\* Standardul ISO 1099, "Metallic materials — Fatigue testing — Axial force-controlled method";
- [2] D.R. Mocanu, Încercarea materialelor, vol.1, Ed. Tehnică, București, 1982
- [3] \*\*\*\* Standardul SR EN 13674-1, „Aplicații feroviare, **Cale. Șine**, Partea 1: Șine Vignole cu masa mai mare sau egală cu 46 kg/m”

## OBOSEALA MATERIALELOR ȘI ELEMENTE DE MECANICA RUPERII

- LABORATOR 3 -

### STUDIUL INFLUENȚEI CONCENTRATORILOR DE TENSIUNE ASUPRA DURATEI DE VIAȚĂ LA OBOSEALĂ

---

*3.1. Efectul concentrării tensiunilor la solicitări de oboseală*

*3.2. Coeficientul de sensibilitate la oboseală*

*3.3. Noțiuni privind concentratorii de tensiune*

*3.4. Mașina de încercat și epruvete utilizate*

*3.5. Rezultate obținute*

---

Determinările experimentale arată că, într-un element structural încărcat, în apropierea modificărilor de secțiune apar distribuții de tensiune în care tensiunea de vârf atinge valori mult mai mari decât o are tensiunea nominală în acea secțiune. Această creștere a tensiunii de vârf în apropierea găurilor, canelurilor, creștăturilor, colțurilor ascuțite, fisurilor și a altor modificări ale secțiunii se numește *concentrare de tensiune*.

În cadrul prezentei lucrări de laborator se vor face determinări asupra numărului de cicluri până la rupere prin oboseală pe două epruvete: una fără concentrator și cealaltă având un concentrator prefabricat. Cele două încercări se vor face în aceleași condiții.

#### **3.1. Efectul concentrării tensiunilor la solicitări de oboseală**

Prezența concentratorilor de tensiune reduce rezistența structurilor, atât în regim static cât și în regim dinamic de solicitare. Pentru solicitarea statică, efectul de concentrare a tensiunilor elastice este luat în calcul cu ajutorul coeficientului de concentrare  $K_t$  definit de relația  $K_t = \sigma_{\max} / \sigma_n$  ca fiind raportul dintre valoarea maximă a tensiunii și tensiunea nominală din secțiunea respectivă, obținute cu relațiile de calcul obișnuite din rezistența materialelor. Acest coeficient depinde de geometria concentratorului, de modul de solicitare și de felul în care a fost definită tensiunea nominală; el nu depinde de material și nici de valorile sarcinilor aplicate. Utilizarea coeficientului de concentrare statică nu este permisă dacă în zonă apar deformații plastice locale.

Este evident faptul că prezența unui concentrator de tensiune va reduce rezistența la oboseală a unei piese. Pe de altă parte, se cunoaște faptul că, epruvetele similare, din același material, cu același  $K_t$ , cu dimensiuni și raze de curbura ale concentratorului exterior mai mari au limita la oboseală mai mică. Din acest punct de vedere se remarcă efectul mărimii concentratorului asupra rezistenței la oboseală. Pentru a înțelege și a prezice efectul formei

concentratorului și efectul dimensiunii acestuia asupra limitei la oboseală, trebuie reamintită definiția limitei oboseală. Aceasta reprezintă cea mai mică amplitudine a tensiunii, care este capabilă să nucleeze o microfisură ce se poate propaga până cedarea finală.

În cazul solicitărilor la oboseală, efectul de concentrare a tensiunilor nu se ia în considerare prin  $K_t$  ci prin  $K_f$  numit **coeficient efectiv de concentrare a tensiunilor la oboseală**.

În domeniul durabilităților mari, diminuarea rezistenței la oboseală datorată efectului de concentrare a tensiunilor poate fi evaluată cu ajutorul factorului de reducere a rezistenței la oboseală  $K_f$ , pentru acest parametru se mai utilizează în literatura de specialitate și denumirea de factor de oboseală al concentratorului sau coeficient efectiv de concentrare la oboseală. Pentru o durabilitate dată acest factor se definește ca fiind:

$$K_f = \frac{\sigma_R}{S_R} \quad (3.1)$$

În care  $\sigma_R$  reprezintă **limita la oboseală** pentru o epruvetă fără concentrator iar  $S_R$  reprezintă **rezistența la oboseală** pentru o epruvetă cu concentrator. De regulă, factorul  $K_f$  se definește și se determină pentru ciclul simetric. Se observă că structura relațiilor cu care au fost definiți coeficienții de concentrare  $K_f$  și  $K_t$  este aceeași din punct de vedere simbolic. Diferența constă în faptul că, coeficientul  $K_t$  este definit ca raportul a două tensiuni în timp ce factorul  $K_f$  reprezintă raportul a două rezistențe la oboseală determinate pentru aceeași durată de viață. Acest coeficient depinde de forma geometrică a concentratorului, de materialul piesei și se poate determina experimental, fiind prezenta sub formă de tabele sau nomograme.

Prezența în configurația unei piese a concentratorilor de tensiuni (degajări, racordări cu raze mici, găuri transversale, canale de pană, filete, îmbinări cu strângere etc.) contribuie la scăderea rezistenței sale la solicitările variabile. Practic, orice creștătură sau discontinuitate geometrică de pe suprafața piesei poate acționa ca amorsă pentru o fisură de oboseală. Aceste efecte sunt luate în considerare în calcule prin **coeficientul efectiv de concentrare a tensiunilor la oboseală,  $K_f$** , relația (3.1) ce are întotdeauna mereu valori mai mari decât unitatea, deoarece rezistența teoretică la oboseală se împarte la acest coeficient pentru a găsi rezistența care corespunde piesei analizate. O altă particularitate a acestui coeficient este că depinde hotărâtor de *tipul concentratorului* prezent pe piesă (ca urmare, calculul trebuie făcut separat pentru fiecare secțiune în care există astfel de elemente de sensibilizare).

### 3.2. Coeficientul de sensibilitate la oboseală

Relația între coeficientul de concentrare a tensiunilor pentru solicitarea statică  $K_t$  și coeficientul efectiv de concentrare a tensiunilor la oboseală,  $K_f$ , este:

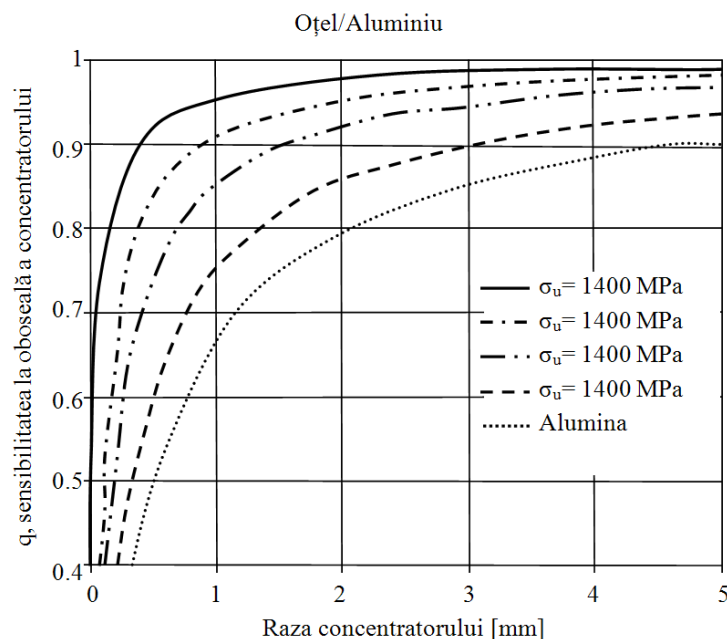
$$K_f = 1 + q(K_t - 1) \quad (3.2)$$

$$1 \leq K_f \leq K_t$$

unde  $q$  este sensibilitatea la oboseală a concentratorului cu  $0 \leq q < 1$ , utilizată pentru a caracteriza intensitatea efectului de concentrare produs de un concentrator de tensiuni și definită cu relația:

$$q = \frac{K_f - 1}{K_t - 1} \quad (3.3)$$

Dacă  $K_f = K_t$ , coeficientul de sensibilitate la oboseală al concentratorului are valoarea  $q=1$  iar concentratorul are efectul maxim posibil. Valoarea coeficientului  $q$  scade atunci când  $K_f < K_t$ . Pentru  $K_f=1$ , se obține valoarea minimă  $q=0$ , caz în care concentratorul nu are efect. S-a stabilit că valoarea coeficientului de sensibilitate  $q$  depinde de material și că, pentru un material dat, acesta crește odată cu raza de racordare a concentratorului. La unele materiale, cum sunt oțelurile,  $q$  crește de asemenea cu rezistența statică  $R_m$ , figura 3.1.



**Fig. 3.1.** Variația sensibilității la oboseală cu raza concentratorului pentru diferite materiale

Experimental se constată că pentru materialele fragile solicitate la oboseală, efectul de concentrare a tensiunilor este mult mai sever decât la materialele ductile de mică rezistență. Valoarea coeficientului de sensibilitate la oboseală poate fi estimată cu relația:

$$q = \frac{1}{1 + \alpha \rho} \quad (3.4)$$

în care  $\alpha$  este o constantă de material având dimensiunea unei lungimi iar  $\rho$  este raza de racordare a concentratorului. Pentru oțeluri având rezistența la rupere statică  $R_m > 550$  MPa, constanta  $\alpha$  poate fi determinată cu relația:

$$\alpha = 6 \left( \frac{100}{R_m} \right)^{1.8} \quad (3.5)$$

O altă relație empirică utilizată pentru calculul coeficientului de sensibilitate la oboseală este:

$$q = \frac{1}{1 + \sqrt{\frac{\beta}{\rho}}} \quad (3.6)$$

Această relație reprezintă o formă simplificată a relației lui Neuber. Pentru oțelurile cu  $R_m \leq 1500 \text{ MPa}$ , constanta de material  $\beta$  se poate calcula cu relația:

$$\beta = \frac{1,7}{R_m^{586}}$$

Este evident că sensibilitatea la oboseală joacă un rol important în relația dintre coeficientul de concentrare a tensiunilor,  $K_t$ , și coeficientul efectiv de concentrare a tensiunilor la oboseală,  $K_f$ .

În calculul la oboseală se lucrează cu  $K_f$  care poate fi determinat direct din nomograme specializate în acest sens (grupate pe tipuri de concentratori), sau poate fi calculat cu ajutorul relației (3.1) atunci când sunt disponibili atât  $K_t$  cât și  $q$ . De cele mai multe ori se utilizează a doua variantă datorită numeroaselor nomograme existente pentru  $K_t$ , figura 3.2.

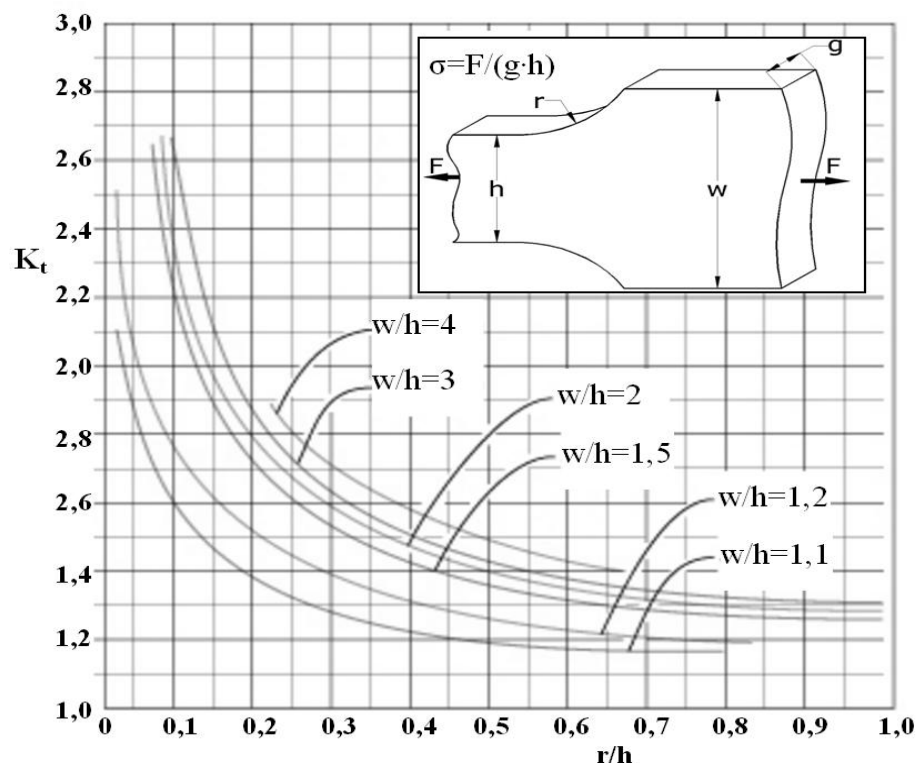
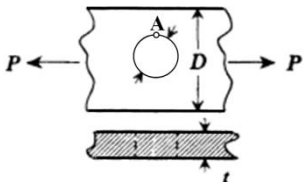
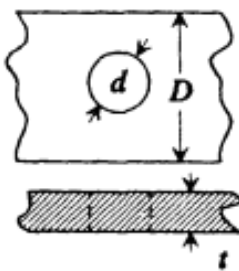
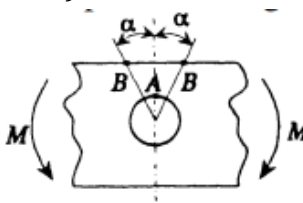
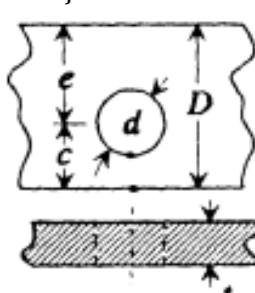
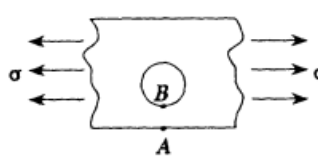
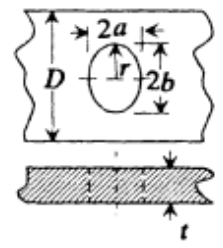
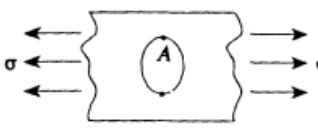


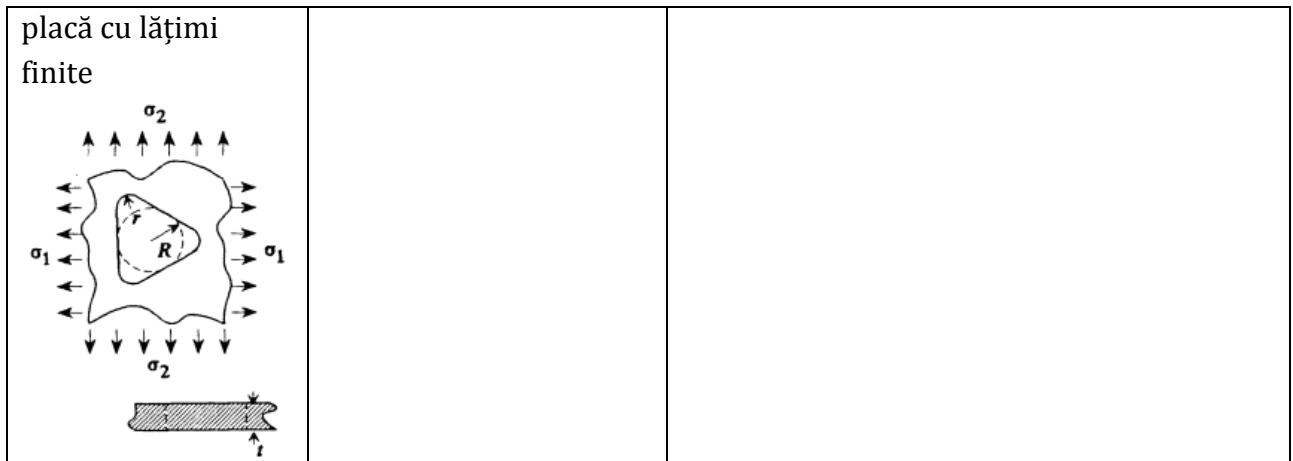
Fig. 3.2. Variația coeficientului de concentrare a tensiunilor  $K_t$  (static)

În tabelul 3.1. sunt prezentate relațiile de calcul pentru câteva cazuri de concentratori de tensiune,  $K_t$ , care, împreună cu factorul de sensibilitate  $q$  și relația (3.2) pot fi utilizați pentru determinarea  $K_f$ .



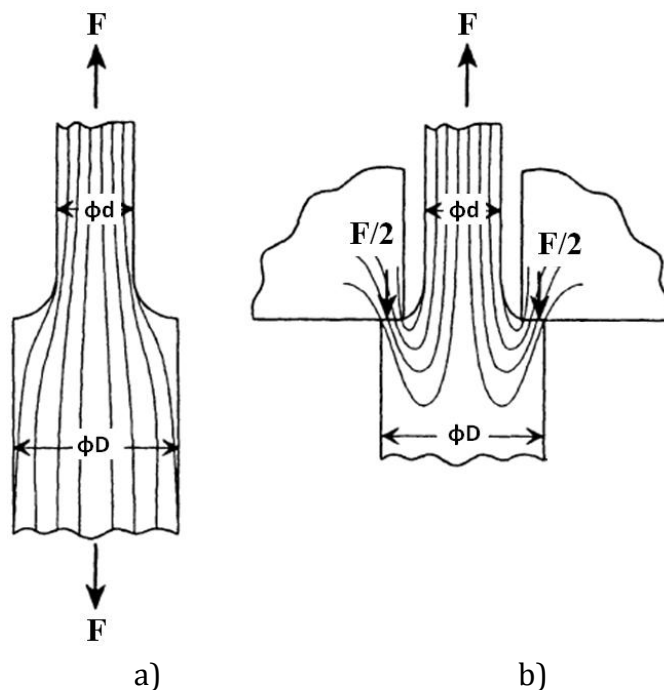
**Tab. 3.1.** Coeficienți de concentrare a tensiunilor,  $K_t$  (solicitare statică)

|  |   |   |       |                                      |       |                                       |       |                                      |       |                                       |
|--|---|---|-------|--------------------------------------|-------|---------------------------------------|-------|--------------------------------------|-------|---------------------------------------|
| 1. Gaură circulară centrală unică în placă cu lățimi finite  | a) Tensiune axială<br>   | $\sigma_{max} = \sigma_A = K_t \sigma_{nom},$ $\sigma_{nom} = P/[t(D - d)]$ $K_t = 3000 - 3140 \left(\frac{d}{D}\right) + 3667(d - D)^2 - 1572(d - D)^3$ Pentru: $0 \leq \frac{d}{D} \leq 1$  |       |                                      |       |                                       |       |                                      |       |                                       |
|   | b) Încovoiere<br>        | 1. La marginea găurii:<br>$\sigma_{max} = \sigma_A = K_t \sigma_{nom},$ $\sigma_{nom} = 6Md - (D^3 - d^3)t$ $K_t = 2 \text{ (independent de } d/D)$ 2. La marginea plăcii:<br>$\sigma_{max} = \sigma_B = K_t \sigma_{nom},$ $\sigma_{nom} = 6MD - (D^3 - d^3)t$ $K_t = 2d/D (\alpha = 30^\circ)$  |       |                                      |       |                                       |       |                                      |       |                                       |
| 2. Gaură circulară excentrică în placă cu lățime finită<br> | a) Tensiuni axiale<br>  | Tensiunea în secțiunea AB este:<br>$\sigma_{nom} = \frac{\sigma \sqrt{1 - \left(\frac{d}{2c}\right)^2} \left(1 - \frac{c}{D}\right)}{1 - \frac{d}{2c} \left[1 - (c/D) \left[2 - \sqrt{1 - \left(\frac{d}{2c}\right)^2}\right]\right]}$ $\sigma_{max} = \sigma_B = K_t \sigma_{nom},$ $K_t = 3000 - 3140 \left(\frac{d}{2c}\right) + 3667 \left(\frac{d}{2c}\right)^2 - 1527 \left(\frac{d}{2c}\right)^3$  |       |                                      |       |                                       |       |                                      |       |                                       |
| 3. Gaură eliptică unică în placă cu lățime finite<br>       | a) Tensiune axială<br> | $\sigma_{max} = \sigma_A = K_t \sigma_{nom},$ $K_t = C_1 + C_2 \left(\frac{2a}{D}\right) + C_3 \left(\frac{2a}{D}\right)^2 + C_4 \left(\frac{2a}{D}\right)^3$ $1.0 \leq a/b \leq 8.0$ <table border="1" data-bbox="853 1657 1396 1904"> <tbody> <tr> <td><math>C_1</math></td> <td><math>1.109 - 0.188\sqrt{a/b} + 2.086a/b</math></td> </tr> <tr> <td><math>C_2</math></td> <td><math>-0.486 + 0.213\sqrt{a/b} - 2.588a/b</math></td> </tr> <tr> <td><math>C_3</math></td> <td><math>3.816 - 5.510\sqrt{a/b} + 4.638a/b</math></td> </tr> <tr> <td><math>C_4</math></td> <td><math>-2.438 + 5.485\sqrt{a/b} - 4.126a/b</math></td> </tr> </tbody> </table> | $C_1$ | $1.109 - 0.188\sqrt{a/b} + 2.086a/b$ | $C_2$ | $-0.486 + 0.213\sqrt{a/b} - 2.588a/b$ | $C_3$ | $3.816 - 5.510\sqrt{a/b} + 4.638a/b$ | $C_4$ | $-2.438 + 5.485\sqrt{a/b} - 4.126a/b$ |
| $C_1$  | $1.109 - 0.188\sqrt{a/b} + 2.086a/b$  |   |       |                                      |       |                                       |       |                                      |       |                                       |
| $C_2$  | $-0.486 + 0.213\sqrt{a/b} - 2.588a/b$   |   |       |                                      |       |                                       |       |                                      |       |                                       |
| $C_3$  | $3.816 - 5.510\sqrt{a/b} + 4.638a/b$  |   |       |                                      |       |                                       |       |                                      |       |                                       |
| $C_4$  | $-2.438 + 5.485\sqrt{a/b} - 4.126a/b$   |   |       |                                      |       |                                       |       |                                      |       |                                       |
| 4. Gaură triunghiulară echilaterală cu colțuri rotunjite în  | a) Tensiune uniaxială<br>$(\sigma_1 = \sigma_2, \sigma_3 = 0)$  | $\sigma_{max} = K_t \sigma_{nom},$ Pentru $0.25 \leq r/R \leq 0.75$<br>$K_t = 6.191 - 7.215 \left(\frac{r}{R}\right) + 5.492 \left(\frac{r}{R}\right)^2$  |       |                                      |       |                                       |       |                                      |       |                                       |



### 3.3. Proiectarea în vederea minimizării concentratorilor de tensiune

Ca regulă generală de proiectare atunci când avem concentratori de tensiune, îl reprezintă faptul că forța ar trebui să fie transmisă de la un punct la altul cât mai lin posibil. Liniile ce conectează transmisia forței sunt numite fluxuri de forță (sau de tensiune). Tranzițiile ascuțite în direcția fluxului de forță trebuie să fie evitate prin netezirea colțurilor exterioare și interioare. Atunci când concentratorii de tensiune sunt impuși de cerințele funcționale, aceștia trebuie să fie plasați, dacă este posibil, în regiunile cu tensiuni nominale scăzute. *Figura 3.3* arată modul în care este afectată direcția fluxului de tensiune în condițiile în care o trecere cauzează concentrarea tensiunilor. Configurația din *figura. 3.3b* are niveluri mai ridicate de tensiune din cauza schimbării ascuțite în direcția fluxului de tensiune.



**Fig. 3.3.** Afectarea direcției fluxului de tensiune

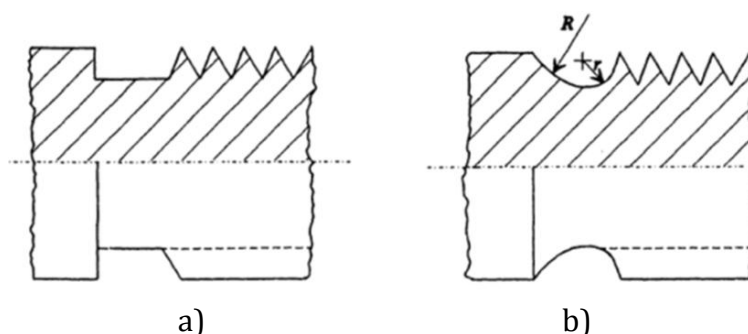
Atunci când sunt necesare variații ale secțiunii, îndepărtarea materialului din apropierea trecerii de la o secțiune la alta poate atenua efectele concentrărilor de tensiune. In *figurile 3.4 a și b* se arată cazurile în care îndepărtarea materialului îmbunătățește rezistența

elementului. În *figura 3.4* sunt prezentate două părți cu aceeași formă, dar cu diferite modele de curgere pentru fluxul de tensiune ce pot conduce la efecte diferite și niveluri de tensiune mai mici în cazul construcției din *figura 3.4b*: introducerea unei caneluri ca cea din *figura 3.4 b* poate reduce efectul de colț.



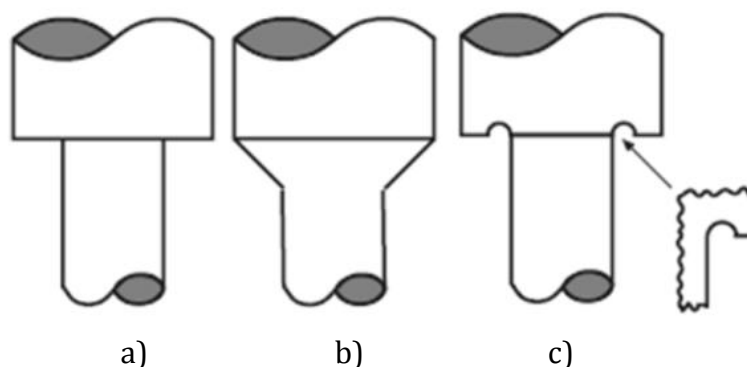
**Fig. 3.4.** Modalitate de reducere a efectului de colț

Ghidarea liniilor de tensiune prin intermediul unor creștături, care nu sunt esențiale din punct de vedere a funcționalității este o metodă utilă de reducere a efectelor negative ale acestora, *figura 3.5*. Se presupune aici că suprafața portantă din *figura (a)* este necesar funcțională. Transformarea canalului cu unul de tipul celui prezentat în *figura (b)* reduce efectele periculoase ale colțului.



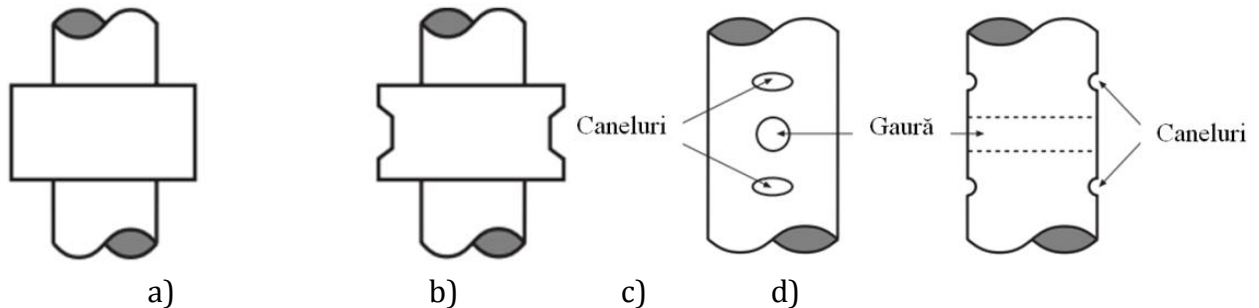
**Fig. 3.5.** Modificarea formei canalului

În *figura 3.6* se prezintă diminuarea concentrării de tensiune prin îndepărtarea materialului, un proces care este relativ ușor de obținut, din punct de vedere al prelucrării mecanice. În ambele cazuri, (b) și (c), concentrarea de tensiune este mai redusă decât în cazul (a).



**Fig. 3.6.** Modalitate de reducere a concentrării de tensiune

Îndepărtarea materialului poate reduce concentrarea tensiunilor. Pentru bara din *figura 3.7*, se presupune că gurilele prevăzute la trecerea de secțiune sunt necesare din punct de vedere funcțional. Uneori, îndepărtarea de material, (b), va conduce la o concentrare a tensiunilor mai redusă în raport cu forma din (a). Canelurile din apropierea găurilor, (c) și (d) pot reduce concentrarea de tensiuni provocate de acestea.

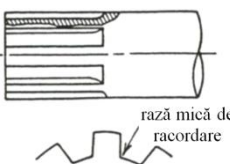
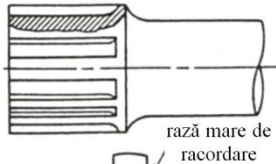
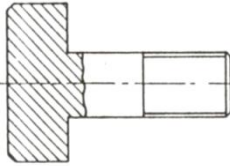
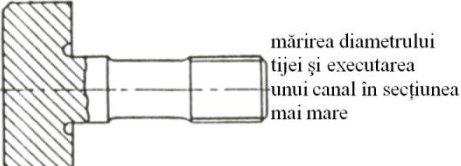
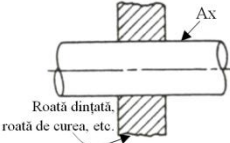
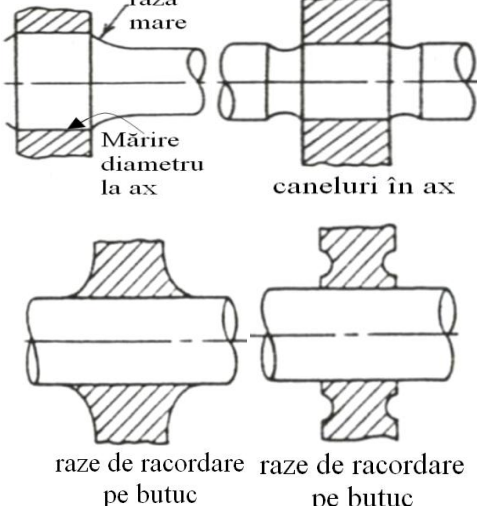
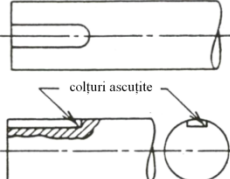
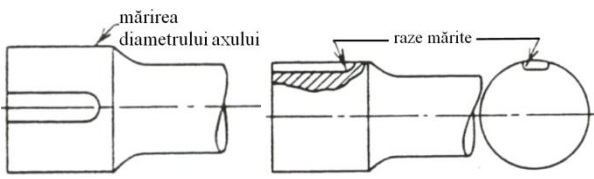


**Fig. 3.7.** Îndepărtarea de material

Alte posibilități de modificare a formei pieselor în vederea reducerii influenței concentratorului de tensiune sunt prezentate în *tabelul 3.1*.

**Tab. 3.1.** Posibilități de reducere a influenței concentratorului de tensiune

| Denumire concentrator de tensiuni   | Forma inițială | Reproiectare în vederea reducerii influenței concentratorului de tensiuni   |
|-------------------------------------|----------------|---|
| Gaură circulară                     |                | <p>găuri mici în apropierea concentratorului      canale adiacente</p>  |
| Schimbarea de secțiune transversală |                | <p>rază de racordare mare      canal de racordare în secțiunea mai mare</p> <p>canal de racordare în ambele secțiuni      canal de racordare cu guler adițional</p> <p>detensionare prin canelură și rază de racordare      detensionare prin canelură și canal</p> |
| Canale circulare prin axe           |                | <p>mărirea secțiunii în dreptul găurii      canale pentru detensionare</p>  |
| Canale circulare                    |                | <p>canale suplimentare pentru detensionare</p>  |

|  |  |   |
|--|--|---|
| Caneluri                               |  <p>rază mică de racordare</p>              | <p>creșterea diametrului arborelui</p>  <p>rază mare de racordare</p>   |
| Secțiune de trecere la capul șurubului |   |  <p>mărirea diametrului țigiei și executarea unui canal în secțiunea mai mare</p>   |
| Asamblări pe ax<br>ax                  |  <p>Roată dințată, roată de curea, etc.</p> |  <p>rază mare</p> <p>Mărire diametru la ax</p> <p>caneluri în ax</p> <p>raze de racordare pe butuc</p> <p>raze de racordare pe butuc</p> |
| Crestături                             |  <p>colțuri ascuțite</p>                  |  <p>mărirea diametrului axului</p> <p>raze mărite</p>   |

### 3.4. Mașina de încercat și epruvete utilizate

În cadrul lucrării de laborator vom utiliza **mașina universală de încercat de tip INSTRON 8801**, (model nr.: 999-110-1319; serial nr.: CP2756K-P24, celula de forță: 64876, dynamic rating  $\pm 100$  kN), figura 3.7, pe care este instalat softul WaveMatrix, destinat încercărilor la solicitări de oboseală. Mașina este capabilă să efectueze încercări de oboseală în limita a 25 Hz frecvența de solicitare. În cadrul prezentelor încercări, frecvențele de solicitare, pentru toate probele, au fost stabilite la **20 Hz**. Temperatura inițială trebuie să fie de aproximativ 25 °C.

Încercarea la oboseală se va face după un ciclu alternat cu valori ale tensiunilor preponderent pozitive, figura 3.7. Caracteristicile acestui tip de ciclu sunt următoarele:

$$\sigma_{\min} < 0; \sigma_{\max} > 0$$

$$\sigma_{\max} > \sigma_{\min}$$

$$\sigma_m > 0; \sigma_a \neq 0$$

$$-1 < R < 0$$



Fig. 3.7. Mașina de încercat Instron 8801 – solicitarea la oboseală

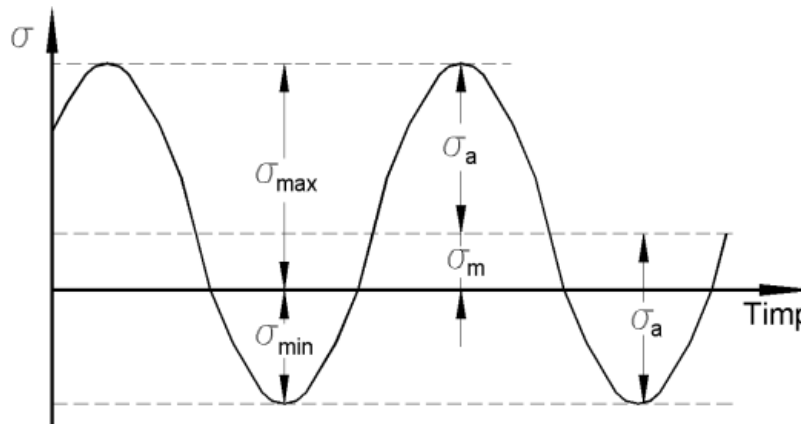


Fig. 3.7. Încercarea ciclică după un ciclu alternant

Pe de altă parte, între mărimile ce caracterizează respectivul ciclu de solicitare se stabilesc relațiile:

$$\begin{cases} \sigma_{min} = \sigma_m - \sigma_a \\ \sigma_{max} = \sigma_m + \sigma_a \end{cases} \quad (3.7)$$

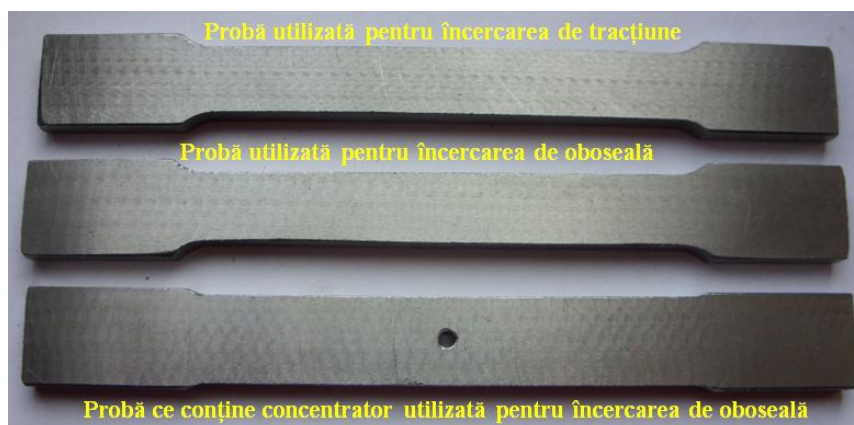
$$\begin{cases} \sigma_m = \frac{\sigma_{max} + \sigma_{min}}{2} \\ \sigma_a = \frac{\sigma_{max} - \sigma_{min}}{2} \end{cases} \quad (3.8)$$

coeficientul de asimetrie a ciclului fiind:

$$R = \frac{\sigma_{min}}{\sigma_{max}} \quad (3.9)$$

Pentru încercare se vor utiliza trei probe de tipul celor prezentate în *figura 3.9*. Primele două probe, cea utilizată pentru încercarea de tracțiune statică și cea utilizată pentru încercarea de oboseală prin tracțiune-compresiune au aceleași dimensiuni ale secțiunii

transversale. Secțiunea transversală a probei cu concentrator, în dreptul concentratorului, are aceeași valoare cu cea a probei fără concentrator.



**Fig. 3.9.** Probe utilizate pentru încercare

O atenție deosebită trebuie acordată prinderii epruvetelor în dispozitivele mașinii, astfel încât pentru toate probele fixarea în bacuri să permită diferențieri de la probă la probă. Încercările de oboseală se vor efectua strict cu același coeficient de asimetrie R.

De la încercarea primei probe de tracțiune se reține rezistența la tracțiune și limita de curgere. Tensiunea maximă la care trebuie făcută solicitarea este:  $\sigma_{max}=0,6\sigma_u$ , fără a depăși însă limita de curgere a materialului. Pentru calculul tensiunii maxime a epruvetei cu concentrator circular se utilizează relațiile:

- Tensiunea maximă:

$$\sigma_{max} = \sigma_A = K_t \sigma_{nom}$$

în care:

- tensiunea nominală:

$$\sigma_{nom} = P/[t(D - d)]$$

- coeficientul de concentrare a tensiunilor:

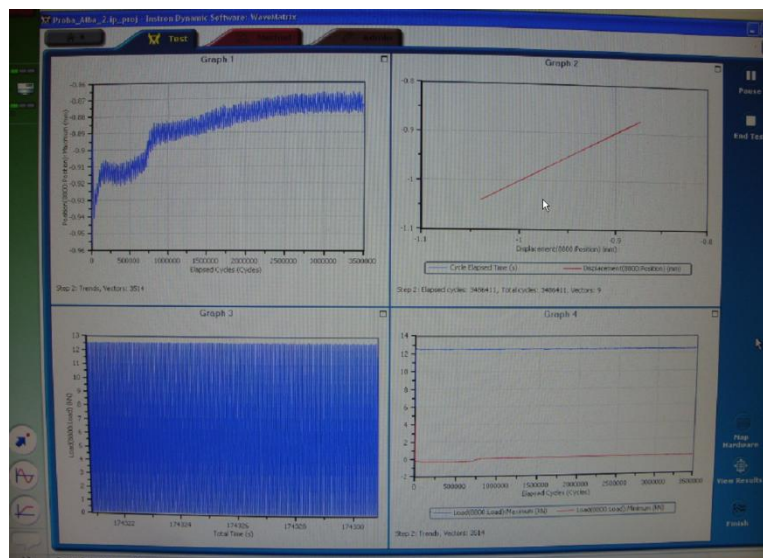
$$K_t = \frac{\left[ 3000 - 3140 \left(\frac{d}{D}\right) + 3667 \left(\frac{d}{D}\right)^2 - 1572 \left(\frac{d}{D}\right)^3 \right]}{1000}$$

D fiind lățimea epruvetei iar d este diametrul găurii.

În continuare se optează pentru un anumit coeficient de asimetrie a ciclului de solicitare și, cu ajutorul relației (3.9) se determină  $\sigma_{min}$ . Întrucât mașina de încercat se programează pe baza amplitudinii ciclului de solicitare  $\sigma_a$  și a valorii tensiunii medii  $\sigma_m$ , acestea se determină cu ajutorul relațiilor (3.8). Frecvența de solicitare se va alege la 15 Hz.

### 3.5. Rezultate obținute

Se va porni programul de încercări pe baza softului WaveMatrix cu parametrii calculați și introduși anterior. Menu-ul acestui program este prezentat în figura 3.10. Având în vedere faptul că cele două probe ce vor fi supuse la tracțiune-compresiune ciclică au aceeași arie a secțiunii transversale, ca urmare vor fi supuse la aceeași tensiune nominală, ciclurile de solicitare la oboseală la care vor fi supuse vor avea exact aceleași valori.



**Fig. 3.10.** Meniu-ul softului WaveMatrix

În timpul încercărilor la oboseală se urmărește creșterea deformațiilor celor două probe pe parcursul încercării (graficul din partea dreapta-sus).

Se vor reține, după efectuarea încercărilor, numărul de cicluri până la rupere, atât pentru proba fără concentrator cât și pentru proba cu concentrator.

## Bibliografie

[1] \*\*\*\* Standardul ISO 1099, "Metallic materials — Fatigue testing — Axial force-controlled method";

[2] D.R. Mocanu, Încercarea materialelor, vol.1, Ed. Tehnică, București, 1982

[3] \*\*\*\* Standardul SR EN 13674-1, „Aplicații feroviare, Cale. Șine, Partea 1: Șine Vignole cu masa mai mare sau egală cu 46 kg/m”

[1] Viorel Goanță, [Axinte Toader](#), [Iftimie Dumitru George](#), [The variation of the Vickers micro-hardness in the vicinity of the fracture surfaces at static loading, Journal of engineering studies and research – volume 17 \(2011\) no. 3,pg. 30-39, 2011](#)

Neuber, H., "Theory of Stress Concentration for Shear Strained Prismatic Bodies with Nonlinear Stress-Strain Law," J. Appl. Mech., Vol. 28, Ser. E, No. 4., 1961, pp. 544–550.

Neuber, H., Theory of Notch Stresses, Office of Technical Services, U.S. Department of Commerce, Washington, DC, 1961.

Stress Concentration, Cap. 6,

<http://www.ewp.rpi.edu/hartford/~ernesto/Su2012/EP/MaterialsforStudents/Aiello/Roark-Ch06.pdf>



- [2] Pilkey, W. D., *Peterson's Stress Concentration Factors*, Wiley, New York, 1997.
- [3] Timoshenko, S. P., and Goodier, J. N., *Theory of Elasticity*, 3rd ed., McGraw-Hill, New York, 1970.
- [4] Maleev, V. L., and Hartman, J. B., *Machine Design*, 3rd ed., International Textbook Co., Scranton, PA, 1954.
- [5] Neuber, H., "Theory of Stress Concentration for Shear Strained Prismatic Bodies with Nonlinear Stress-Strain Law," *J. Appl. Mech.*, Vol. 28, Ser. E, No. 4., 1961, pp. 544-550.
- [6] Pilkey, Water D., *Peterson's Stress Concentration Factors*. Second Edition. New York: John Wiley & Sons, Inc., 1997.
- [7] \* \* \* <https://www.efatigue.com/constantamplitude/stressconcentration/>
- [8] Nedelcu, D., *Proiectare și simulare numerică cu SOLIDWORKS*, Septembrie 2011, Editura Eurostampa, Timișoara, ISBN 978-606-569-276-3.
- [9] Joiart, Cr.Udo., *Calculul concentratorilor de tensiuni prin modulul SolidWorks Simulation*, Lucrare de licență UEMR, 2012, Coordonator științific Prof.Dr.Ing. Dorian Nedelcu.
- [10] <http://www.amesweb.info/StressConcentrationFactor/StressConcentrationFactors.aspx>

## OBOSEALA MATERIALELOR ȘI ELEMENTE DE MECANICA RUPERII

### - LABORATOR 4 -

#### SOLICITAREA LA OBOSEALĂ PRIN RĂSUCIRE EFECTUATĂ CU AJUTORUL UNUI DISPOZITIV ADAPTAT PENTRU MAȘINILE UNIVERSALE DE ÎNCERCAT - PULSATOARE

---

4.1. Dispozitive și mașini pentru încercarea la oboseală prin răsucire

4.2. Dispozitivul pentru oboseală prin răsucire atașat pulsatorului

4.3. Determinarea momentului de răsucire pe baza forței și a deplasării furnizate de mașina de încercat

4.4. Rezultate obținute

---

În cadrul lucrării se vor efectua încercări la oboseală prin răsucire cu ajutorul unui dispozitiv adaptat pentru mașinile universale de încercat – pulsatoare. Prin încercarea a cel puțin 10 probe confecționate pentru solicitarea prin răsucire cu ajutorul acestui dispozitiv, se poate determina limita la oboseală prin răsucire,  $\tau_R$ , prin trasarea diagramei Wöhler. Dispozitivul permite solicitarea după un ciclu oarecare, cel mai adesea fiind utilizat pentru încercarea după un ciclu alternant simetric sau un ciclu pulsant.

#### 4.1. Dispozitive și mașini pentru încercarea la oboseală prin răsucire

Sunt cunoscute metode experimentale, și ca urmare, mașini și dispozitive, pentru determinarea limitei la oboseală pentru solicitările de tracțiune (compresiune), de încovoiere și răsucire. Limita la oboseală este notată, în general, cu  $\sigma_R$ ,  $\sigma_{Rt}$  sau  $\tau_R$ , în funcție de solicitare. Pentru încovoiere se utilizează  $\sigma_R$ , pentru tracțiune (compresiune) se utilizează  $\sigma_{Rt}$  iar pentru răsucire se utilizează  $\tau_R$ . Indicele R reprezintă coeficientul de asimetrie al ciclului de solicitare și este definit de relația:  $R = \frac{\sigma_{min}}{\sigma_{max}}$ .

Așadar, limita la oboseală se determină pentru fiecare solicitare în parte iar pentru o solicitare fixată se determină pentru un anumit coeficient de asimetrie al ciclului de solicitare. Este cunoscut faptul că, pentru solicitarea de tracțiune-compresiune se utilizează, în general, **mașini universale de încercat** numite și **pulsatoare**, care, din dotare, sunt prevăzute a putea face o mișcare alternantă în vederea introducerii sarcinilor ciclice de oboseală mecanică. Variindu-se, de exemplu, forța medie și amplitudinea solicitării, se vor obține diferite valori ale coeficientului de asimetrie. Se poate modifica, de asemenea și prin

consecință, și forța maximă și, ca urmare, tensiunea maximă de solicitare, ce permite solicitarea diferitelor probe la valori diferite ale tensiunii maxime. Valoarea tensiunii maxime împreună cu numărul de cicluri de solicitare până la rupere pentru o probă, formează un punct de coordonate pe diagrama Wöhler. Pentru *solicitarea de încovoiere plană*, se utilizează, de asemenea, același tip de **pulsator**.

Modificarea parametrilor de încercare, pe baza cărora să se obțină tensiuni maxime diferite de solicitare dar și coeficienți diferiți de asimetrie a ciclului de solicitare se face, în același mod descris mai sus pentru solicitarea de tracțiune-compresiune. Atât pentru solicitarea de tracțiune-compresiune cât și pentru solicitarea de încovoiere plană, se utilizează și **mașini special construite în acest scop**. Pentru solicitarea de **oboseală prin răsucire**, sunt construite atât **mașini speciale** dedicate acestui scop cât și **mașini de încercat universale** prevăzute și cu partea de răsucire. La ambele variante există posibilitatea modificării atât a valorilor tensiunii maxime cât și a coeficientului de asimetrie al ciclului de solicitare,  $R$ , pentru prima variantă modificarea  $R$  fiind mai greoaie și făcându-se cu dispozitive speciale.

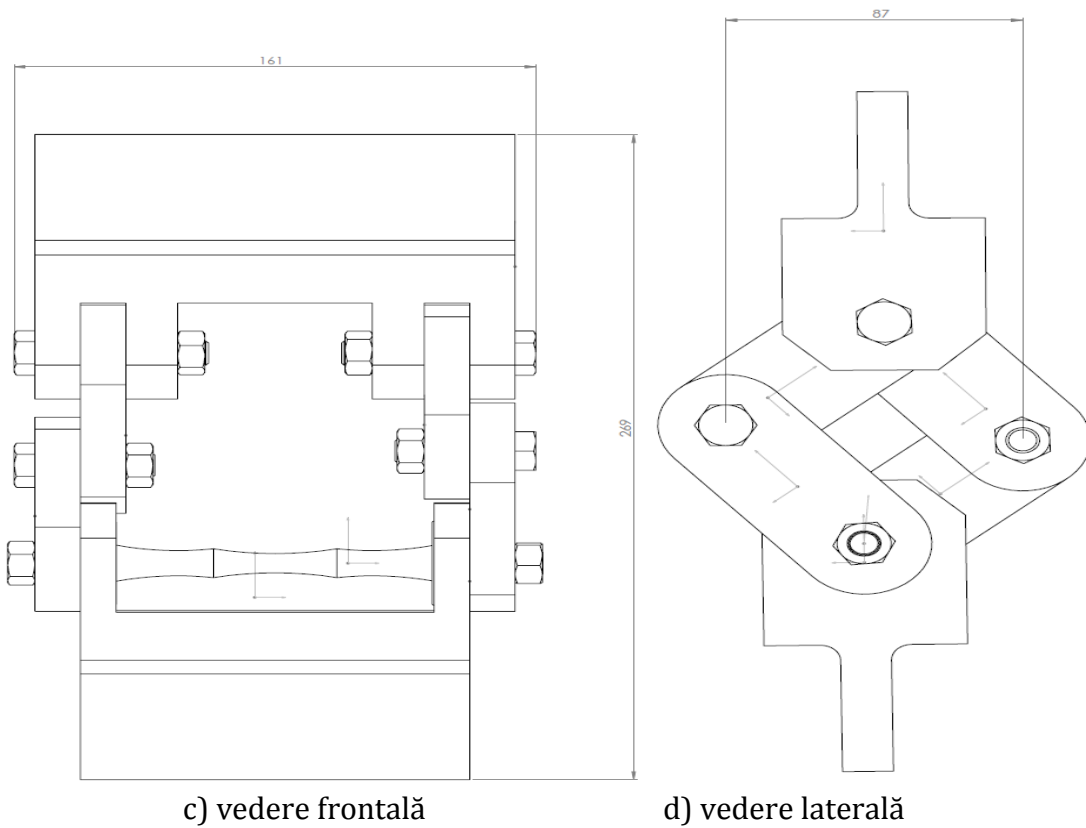
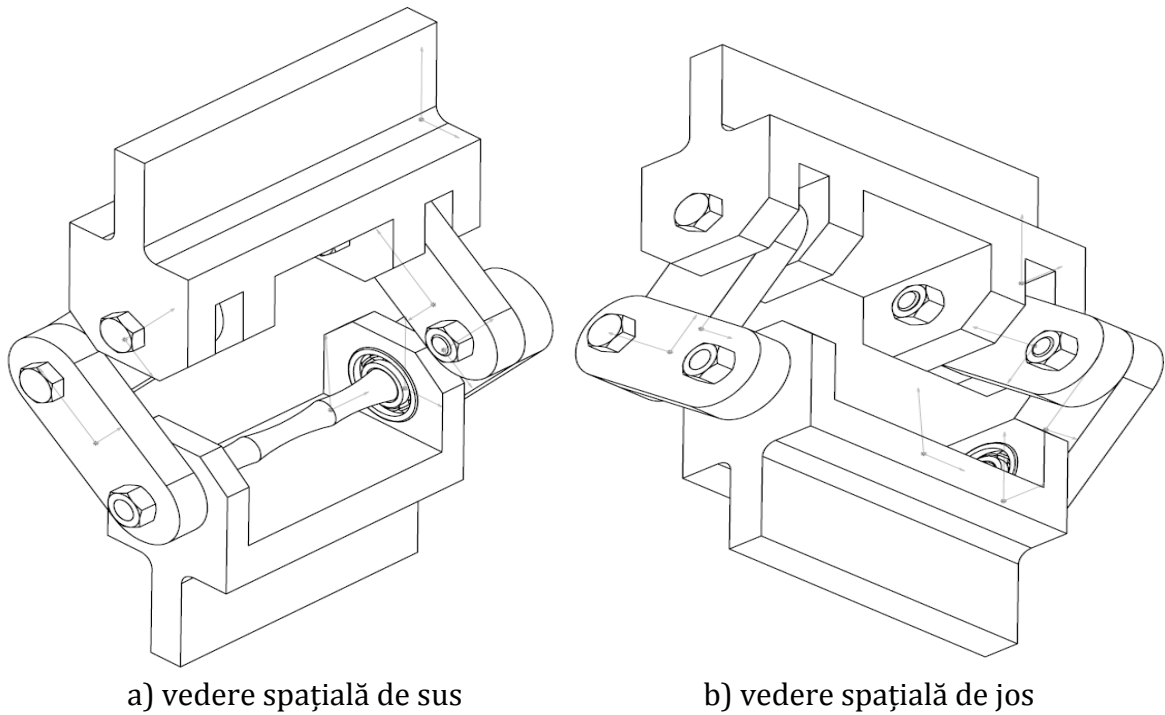
#### 4.2. Dispozitivul pentru oboseală prin răsucire atașat pulsatorului

În lucrarea de față se va utiliza un dispozitiv construit pentru a putea solicita la **oboseală prin răsucire** probe cilindrice, în aceste condiții putându-se determina limita la oboseală  $\tau_R$ . Dispozitivul este conceput în așa fel încât să poată fi atașat unei mașini universale de încercat de tip pulsator, *figura 4.1*. Astfel, se combină simplitatea dispozitivului, nemaifiind necesare mașini de încercat speciale cu acționare proprie, cu facilitățile oferite de mașina universală de încercat (pulsator). În aceste condiții, toți parametrii privind încărcarea, deplasarea, frecvența și numărul de cicluri sunt stabiliți pe baza softului specializat în acest sens și care conduce mașina de încercat. Pe de altă parte, rezultatele sunt stocate în fișierele din cadrul calculatorului de proces.

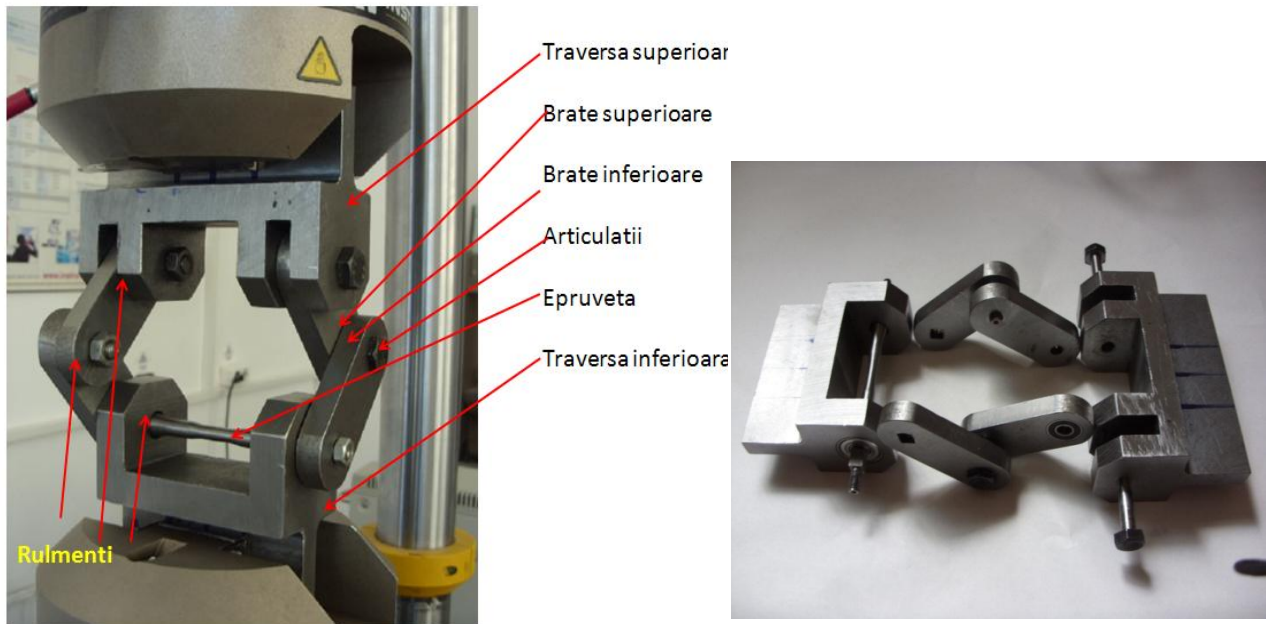
Dispozitivul este simplu și adaptabil *mașinii universale de încercat* de tip pulsator, conținând două mecanisme, fiecare având câte două brațe articulate, cele două mecanisme fiind așezate **antisimetric** în raport cu secțiunea transversală a probei, în acest fel putându-se introduce la capetele probei două momente de răsucire egale în mărime și de sensuri contrare, *figura 4.2*.

Utilizând acest dispozitiv se elimină posibilitatea utilizării de *mașini special construite* în acest scop, acestea fiind scumpe și trebuind să fie prevăzute cu toate sistemele de preluare, achiziție și stocare a datelor privitoare la valoarea încărcării, a frecvenței și a numărului de cicluri de solicitare. Chiar și așa, respectivii parametri, atât cei de la intrare cât și cei preluați nu sunt întotdeauna foarte preciși. Pe de altă parte, utilizarea dispozitivului din *figura 4.2* elimină posibilitatea utilizării **mașinilor universale** care sunt dotate și cu varianta pentru răsucire. Acestea au, în majoritatea cazurilor, și acționarea la tracțiune-compresiune, astfel că, adăugarea și a posibilității de rotire a axei pentru realizarea răsucirii prin oboseală conduce la costuri destul de mari pentru un astfel de utilaj. Astfel, dispozitivul descris aici combină avantajul utilizării unei mașini universale de încercat, la care parametrii introduși pentru

solicitare și cei preluați pentru calculele ulterioare sunt preciși, cu avantajul unui dispozitiv simplu și nu foarte costisitor.



**Fig. 4.1.** Desen de ansamblu al dispozitivului



a) în mașina de încercat

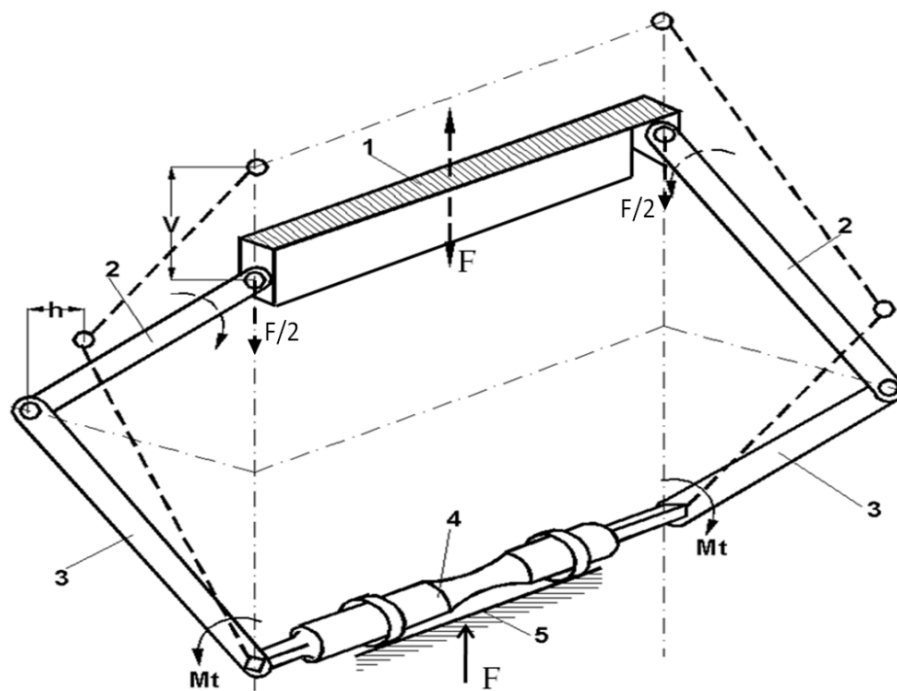
b) elemente componente

**Fig. 4.2.** Utilizarea dispozitivului de răsucire prin oboseală în mașina universală de încercat

#### 4.3. Determinarea momentului de răsucire pe baza forței și a deplasării furnizate de mașina de încercat

În continuare se prezintă un exemplu de determinare a momentului de răsucire aplicat la fiecare din capetele epruvetei, în vederea determinării tensiunii tangențiale maxime introduse în aceasta.

În *figura 4.3* se poate constata că brațele, aflate la cele două capete ale epruvetei sunt așezate antisimetric, cu articulațiile centrale de-o parte și de alta a axei geometrice a epruvetei.



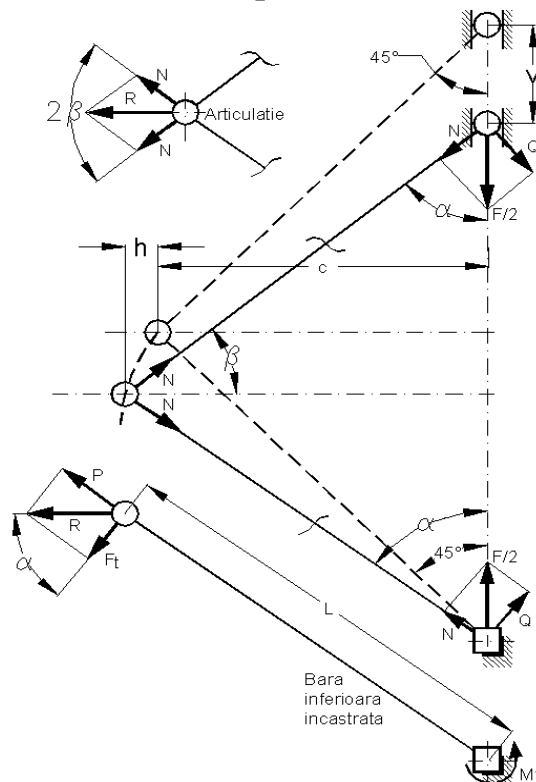
**Fig. 4.3.** Schema dispozitivului – forța  $F$ , deplasarea  $v$  și momentele  $M_t$

Distanța dintre cele două articulații, măsurată perpendicular pe axa epruvetei este de 87 mm. In aceste condiții, la mișcarea pulsatorie pe verticală a pistonului mașinii de încercat, cele două perechi de brațe vor executa mișcări de rotație opuse, ce permit introducerea la capetele epruvetei de momente de răsucire, egale și de sens contrar. Astfel, este satisfăcută cerința unei încercări la răsucire pură.

Se are în vedere faptul că, de la mașina de încercat se pot achiziționa cu precizie, valori pentru **forța** introdusă de mașină și **deplasarea** pistonului acesteia. In vederea determinării tensiunii din epruvetă, trebuie evaluat **momentul de răsucire** aplicat la capetele epruvetei în funcție de **forța și deplasarea** înregistrate pe mașina de încercat. Pentru determinarea unei formule de calcul în acest sens, am reprezentat forțele rezultante din cuplele cinematice și din articulațiile dispozitivului. Astfel, în *figura 4.4* avem modul de proiectare și compunere a acestora. Se menționează faptul că poziția de echilibru inițial și montare a epruvetei (forța și momentul sunt zero), este cea prezentată cu linie întreruptă în figura 3, cu unghiul de 90° între brațe în zona articulației centrale, și, ca urmare, cu unghiul de 45° între brațe și verticală (direcția de solicitare).

Atunci când, de la mașina de încercat se aplică forța dispozitivului, unghiul brațelor în raport cu verticala devine  $\alpha$ . Forța, ce se înregistrează în fișierul de date, se descompune în brațele dispozitivului în forțele axiale  $N$  ce se calculează cu relația:

$$N = \frac{F}{2} \cos \alpha \quad (4.1)$$



**Fig. 4.4.** Reprezentarea reacțiilor din cuplele cinematice și articulații

Intr-o singură pereche de brațe se induce forța  $F/2$ , vezi *figura 4.4*. În articulația centrală are loc compunerea acestora rezultând forța  $R$ , conform relațiilor:

$$R^2 = N^2 + N^2 + 2NN\cos 2\beta; \quad (4.2)$$

Pe de altă parte, unghiul  $\beta$  este:

$$\beta = \pi - \alpha \quad (4.3)$$

și va rezulta:

$$\cos 2\beta = \cos 2(\pi - \alpha) = \cos 2\alpha \quad (4.4)$$

Astfel, forța rezultantă R din articulația centrală va fi:

$$R^2 = 2N^2(1 + \cos 2\beta) = 2N^2(1 + \cos 2\alpha) \quad (4.5)$$

Având în vedere relațiile (1) și (3), forța rezultantă R va avea forma:

$$R = \frac{F \cos \alpha}{\sqrt{2}} \sqrt{1 + \cos 2\alpha} \quad (4.6)$$

Forța rezultantă R din articulația centrală se descompune pe brațul inferior, *figura 3*, acesta considerându-se a fi încastrat în acest moment, conducând la apariția forței  $F_t$ :

$$F_t = R \cos \alpha = \frac{F \cos^2 \alpha}{\sqrt{2}} \sqrt{1 + \cos 2\alpha} \quad (4.7)$$

În raport cu zona de prindere a epruvetei, forța  $F_t$  creează momentul de răsucire  $M_t$ , care se poate calcula cu relația:

$$M_t = F_t \cdot L = \frac{F \cdot L \cdot \cos^2 \alpha}{\sqrt{2}} \sqrt{1 + \cos 2\alpha} \quad (4.8)$$

În această relație avem:

- F, forța dată de mașina de încercat – cunoscută;
- L, lungimea între articulațiile brațului (brațele au aceeași lungime) – cunoscută;
- $\alpha$ , unghiul momentan al brațelor în raport cu verticala. Acest unghi nu îl putem măsura, dar putem avea de la mașina de încercat deplasarea pe verticală a pistonului.

Observăm că momentul de răsucire se calculează în funcție de forța F, forță care ne este dată de către mașina de încercat, lungimea L a brațului inferior pe care o putem măsura, și unghiul  $\alpha$  dintre axa verticală a dispozitivului și brațele superioare în timpul funcționării. Acest unghi nu putem să îl măsurăm, dar îl putem determina în funcție de deplasarea pe verticală a traversei superioare v, valoare care este dată de către mașina de încercat în fișierul de date achiziționat.

Astfel, s-a recurs la o analiză de tip mecanism, *figura 4.5*, din care se poate deduce o relație între deplasarea pe verticală v, a pistonului mașinii de încercat și deplasarea pe orizontală h, a articulației centrale.

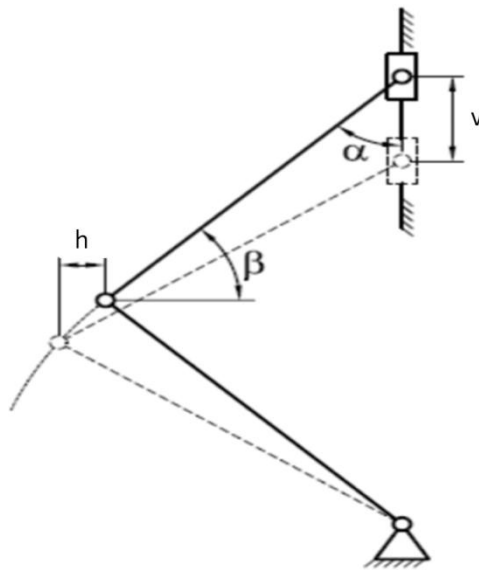


Fig. 4.5. Reprezentarea deplasărilor v și h

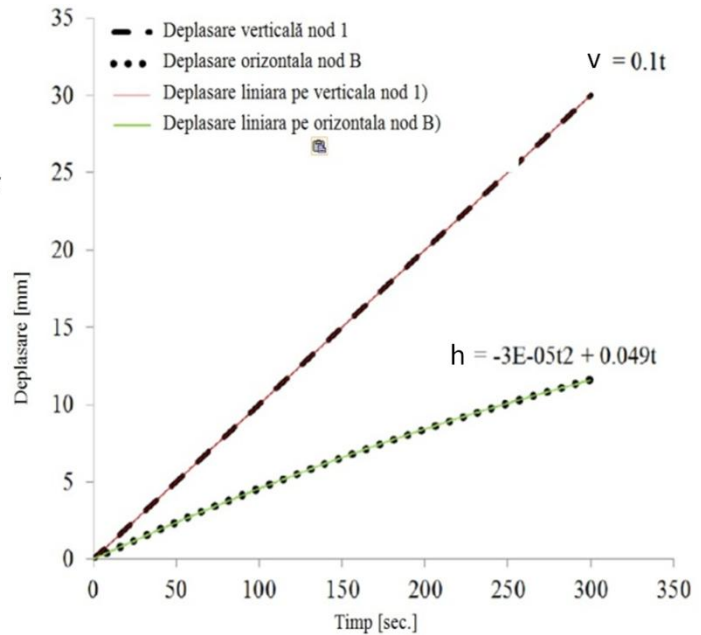


Fig. 4.6. Diagrama deplasărilor

Pe baza unui program specializat, se trasează curbele de variație a deplasărilor amintite în raport cu timpul, figura 4.6. Din relațiile pentru cele două deplasări prezentate în figura 5, se elimină timpul și se obține relația:

$$h = -3 \cdot 10^{-3} \cdot (v)^2 + 0,49 \cdot v = f(v) \quad (4.9)$$

Pe de altă parte, din mecanismul aflat în stare de repaus – cu unghiul  $\alpha=45^\circ$  – se deduce o relație între cateta c, figura 4.4, și lungimea L barei:

$$c = \frac{L}{\sqrt{2}}; \quad (4.10)$$

Din mecanismul în mișcare se deduce relația :

$$\sin\alpha = \frac{c+h}{L} \quad (4.11)$$

Având în vedere relațiile (9) și (10) va rezulta:

$$\sin\alpha = \frac{\frac{L}{\sqrt{2}} + (-3 \cdot 10^{-3} v^2 + 0,49v)}{L} \quad (4.12)$$

Astfel, unghiul  $\alpha$  este dat de relația de mai jos, care este funcție de deplasarea pe verticală, variabilă, a pistonului mașinii.

$$\alpha = \arcsin\left(\frac{1}{\sqrt{2}} - \frac{3 \cdot 10^{-3} v^2 - 0,49v}{L}\right) \quad (4.13)$$

Unghiul  $\alpha$  astfel obținut se introduce în relația (8) cu ajutorul căreia se calculează momentul de răsucire  $M_t$ . În aceste condiții, limita la oboseală se va calcula cu relația:



$$\tau_R = \frac{M_t}{W_p} \quad (4.14)$$

în care  $M_t$  este momentul de răsucire calculat cu relația (8) iar  $W_p$  este momentul de inerție polar care, pentru o secțiune circulară plină de diametru  $d$ , se calculează cu relația:

$$W_p = \frac{\pi d^3}{16} \quad (4.15)$$

#### 4.4. Rezultate obținute

În tabelul 4.1, sunt prezentate rezultatele ce se pot obține pentru unghiul  $\alpha$ , cu ajutorul relației (4.13), în condițiile utilizării fișierului de date pentru deplasarea  $v$  a pistonului mașinii de încercat (aici s-a considerat  $L=60$  mm și  $d=10$  mm).

**Tab. 4.1.** Rezultate obținute pentru determinarea  $M_t$  pe baza  $F$  și a  $v$

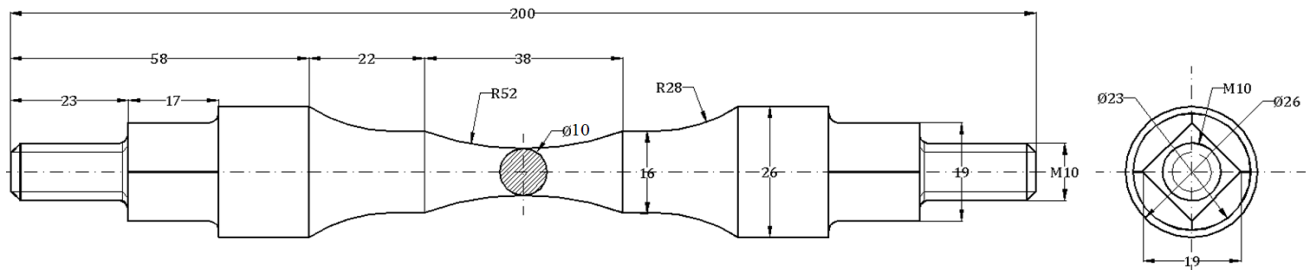
| <b>F</b>   | <b>v</b>    | <b><math>\alpha</math></b> | <b><math>\sin\alpha</math></b> | <b><math>\cos 2\alpha</math></b> | <b><math>\cos\alpha</math></b> | <b><math>M_t</math></b> | <b><math>\tau</math></b>  |
|------------|-------------|----------------------------|--------------------------------|----------------------------------|--------------------------------|-------------------------|---------------------------|
| <b>[N]</b> | <b>[mm]</b> | <b>[grade]</b>             |                                |                                  |                                | <b>[N·m]</b>            | <b>[N/mm<sup>2</sup>]</b> |
| 0          | 0.0         | 45.000                     | 0.707                          | 0.000                            | 0.707                          | 0.000                   | 0.000                     |
| 25         | 0.1         | 45.066                     | 0.708                          | -0.002                           | 0.706                          | 0.528                   | 2.692                     |
| 50         | 0.2         | 45.132                     | 0.709                          | -0.005                           | 0.705                          | 1.053                   | 5.365                     |
| 75         | 0.3         | 45.198                     | 0.710                          | -0.007                           | 0.705                          | 1.574                   | 8.019                     |
| 100        | 0.4         | 45.265                     | 0.710                          | -0.009                           | 0.704                          | 2.092                   | 10.654                    |
| 125        | 0.5         | 45.331                     | 0.711                          | -0.012                           | 0.703                          | 2.606                   | 13.272                    |
| 150        | 0.6         | 45.397                     | 0.712                          | -0.014                           | 0.702                          | 3.116                   | 15.870                    |
| 175        | 0.7         | 45.463                     | 0.713                          | -0.016                           | 0.701                          | 3.623                   | 18.450                    |
| 200        | 0.8         | 45.529                     | 0.714                          | -0.018                           | 0.701                          | 4.126                   | 21.012                    |

Așa cum se constată din *relația (4.8)*, momentul de răsucire aplicat epruvetei este în funcție de forță, dată de mașina de încercat, de lungimea  $L$  a brațelor, cunoscută și fixă și de deplasarea pe verticală a pistonului mașinii,  $v$ , în *relația (4.8)* înlocuindu-se  $\alpha$  cu valorile date de relația (4.13).

Acum avem toate datele necesare pentru calcularea momentului de răsucire  $M_t$  necesar calculării tensiunii tangențiale  $\tau$ , pentru ca apoi, în urma mai multor încercări efectuate să putem trasa curba Wöhler. Pentru un ciclu de încărcare, se calculează tensiunea tangențială maximă care, împreună cu numărul de cicluri până la rupere, formează un punct de pe diagrama Wöhler. Valoarea tensiunii tangențiale pentru care epruveta nu se mai rupe după un număr suficient de cicluri de solicitare se consideră a fi limita la oboseală prin răsucire,  $\tau_R$ . Se precizează faptul că, prezentul dispozitiv poate realiza diferite valori ale coeficientului de asimetrie  $R$ , pe baza preîncărcării cu o forță inițială,  $F_m$ , și solicitării la oboseală cu o amplitudine  $F_a$ , în jurul valorii  $F_m$ . Pe baza calculelor anterior prezentate se obțin diferite valori pentru  $\tau_{\min}$  și  $\tau_{\max}$ , ( $R = \tau_{\min}/\tau_{\max}$ ).

În *tabelul 4.1* sunt date valorile și pentru momentul de răsucire  $M_t$  și tensiunea tangențială  $\tau$ , calculate în funcție de forța  $F$  și deplasarea  $v$  a pistonului mașinii de încercat.

Aici s-a considerat proba ca având diametrul de 10 mm, *figura 4.7*. Astfel, cu ajutorul dispozitivului prezentat în *figura 4.1*, se poate introduce o tensiune tangențială mare în proba sollicitată, astfel încât aceasta să se rupă după un număr mic de cicluri de sollicitare. În aceste condiții, cu atât mai mult se vor putea introduce tensiuni mici în probe ce vor rezista un număr mai mare de cicluri.



**Fig. 4.7.** Tipul de epruvetă cu care s-a realizat încercarea

## Bibliografie

1. Mocanu, D.R. ș.a. *Încercarea materialelor*, vol. I, Ed. Tehnică, București 1980
2. Andrusca, L., Doroftei, I., Barsanescu, P.D., Goanta, V., *Assessment of Systems for Carrying Out of Planar Biaxial Tensile Test*, Applied Mechanics and Materials, Vol. 658 (2014), pp 3-8.
3. Rajkumar, P., Gore, P.N., *Review the Effect of Specimen Geometry on Torsion Test Results*, International Journal of Innovative Research in Science, Engineering and Technology, Vol. 2, Issue 12, December 2013, pp. 7567-7574.
4. Bayraktar, E., Xue, H., Ayari, F., C. Bathias, C., *Torsional fatigue behaviour and damage mechanisms in the very high cycle regime*, Archive of material science and engineering, Vol. 3. Issue 2, june 2010, pp. 77-86.
5. Peña Bustos, F.M., Alvarez Vargas, C.A., *Design and construction of a torsional fatigue testing machine operated by inertial loads*, Dyna, vol. 79, núm. 172, abril, 2012, pp. 46-55.

**OBOSEALA MATERIALELOR ȘI ELEMENTE DE MECANICA RUPERII**

- LABORATOR 5 -

**SOLICITAREA DE OBOSEALĂ COMPUSĂ PRIN TRACȚIUNE-TORSIUNE**

---

5.1. *Descrierea dispozitivului de solicitare la oboseală prin tracțiune-torsiune*

5.2. *Modul de funcționare a dispozitivului*

5.3. *Analiza cu elemente finite a probei supuse la solicitarea de tracțiune cu torsiune*

5.4. *Analiza cu elemente finite cama*

5.5. *Calculul tensiunii normale (maxime) și tensiunii tangențiale (maxime) la solicitarea epruvetei prin oboseală compusă de tracțiune-torsiune*

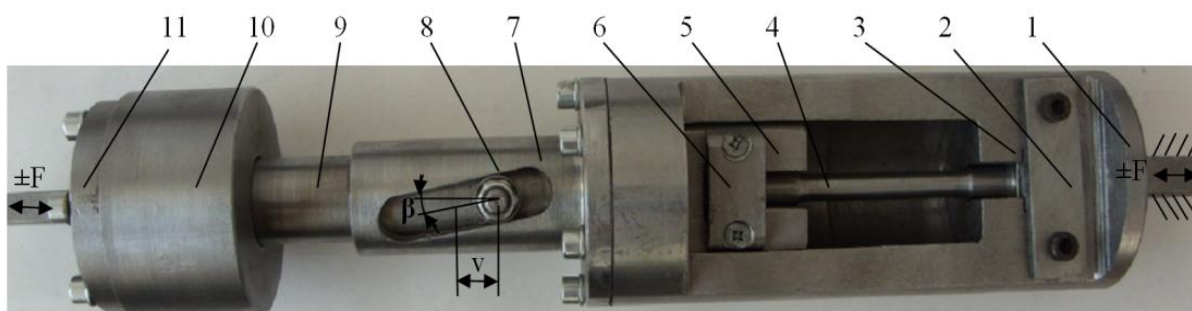
5.6. *Exemplu pentru încercarea unui oțel cu:  $E=21 \cdot 10^4 \text{ N/mm}^2$  și  $G=8 \cdot 10^4 \text{ N/mm}^2$*

---

**5.1. Descrierea dispozitivului de solicitare la oboseală prin tracțiune-torsiune**

Dispozitivul descris în cadrul acestei lucrări se utilizează pentru determinarea rezistenței materialelor (sau a limitei la oboseală) prin solicitarea de oboseală compusă de tracțiune cu torsiune. Dispozitivul se atașează unei mașini universale ce lucrează deja la oboseală prin tracțiune (încovoiere) de tip pulsator, utilizându-se în calcule valorile, pentru anumite mărimi, furnizate de mașina de încercat. Prin rapoarte diferite între  $\tau$  și  $\sigma$  se pot obține mai multe puncte în cadrul curbei de variație dintre tensiunea tangențială și tensiunea normală. Două dintre aceste puncte vor fi reprezentate de intersecția cu axele și vor fi obținute prin încercarea de tracțiune simplă și prin încercarea de răsucire simplă.

Dispozitivul de încercare la oboseală compusă de tracțiune-răsucire a fost proiectat cu ajutorul programului Catia. Tot aici s-au realizat mișcarea cinematică precum și analiza cu elemente finite. După mai multe variante concepute s-a ajuns la configurația dispozitivului prezentat în *Figura 5.1*. Dispozitivul conceput, proiectat și realizat pentru încercarea de oboseală compusă de tracțiune cu răsucire prezintă următoarele avantaje: dispozitivul este simplu și adaptabil *mașinii universale de încercat la oboseală de tip pulsator*; prin montarea de came cu diferite înclinări ale canalului conducător se pot obține diferite rapoarte între tensiunea normală și cea tangențială. În *Figura 5.1* se prezintă desenul de ansamblu al dispozitivului utilizat pe o mașină universală de încercat de tip pulsator, pentru încercarea compusă de oboseală prin tracțiune și torsiune, alcătuit din:



**Fig. 5.1.** Dispozitivul atașabil mașinii universale de încercat și proba utilizată

- 1- element de prindere în bacul fix;
- 2- plăcuță de fixare a epruvetei în partea superioară;
- 3- locaș superior de fixare a epruvetei cu capete pătrate;
- 4- epruveta;
- 5- locaș inferior de fixare a epruvetei cu capete pătrate;
- 6- plăcuță de fixare a epruvetei în partea inferioară;
- 7- camă;
- 8- rulment radial fixat cu piuliță;
- 9- axul central;
- 10- cilindrul pentru fixare rulmenți axiali;
- 11- element de prindere în bacul mobil.

## 5.2. Modul de funcționare a dispozitivului

Așa cum se poate vedea din *figura 5.1*, funcționarea dispozitivului se bazează pe mișcarea relativă dintre axul central și camă. Bacurile mobile ale mașinii de încercat, *figura 5.2*, vor solicita la tracțiune (+F) epruveta prin intermediul axului central 9. Acesta, la rândul lui, va efectua o mișcare de translație pe distanța  $d$ , care, în epruvetă, se traduce printr-o solicitare de tracțiune, ca urmare a aplicării forței de către mașina de încercat. Pe de altă parte, cama 7 fiind fixă, prin intermediul celor doi rulmenți radiali 8 (dispuși pe cele două canale opuse ale camei – a se vedea *figura 5.3*), și având în vedere faptul că epruveta se va deforma, axul central 9 va fi obligat să execute și o mișcare de rotație cu unghiul  $\beta$  care se va traduce într-o solicitare de torsiune aplicată epruvetei. Reacțiunea rezultată ca moment de torsiune se va introduce în bacul fix al mașinii de încercat. În acest fel, mișcarea de rotație și cea de translație efectuată de către axul central 9, având în vedere modul în care este construit dispozitivul, se vor transfera epruvetei 4. Epruveta se va opune tendinței de deplasare și rotire, conducând la apariția unei forțe de reacțiune și a unui moment de reacțiune (de torsiune) transferate bacurilor superioare, fixe, ale mașinii universale de încercat. În aceste condiții, se realizează dezideratul ca, în epruvetă să se introducă atât forță axială cât și moment de torsiune.

La revenirea forței la zero, dată fiind elasticitatea epruvetei, aceasta revine la poziția inițială, după care ciclul se reia.



**Fig. 5.2.** Prinderea dispozitivului în bacurile dispozitivului mașinii de încercat



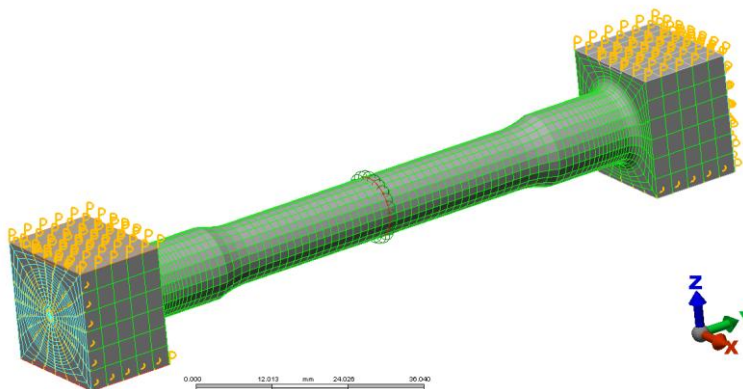
**Fig. 5.3.** Cama utilizată în cadrul

*Observații:*

*Solicitarea de oboseală se efectuează în domeniul elastic de solicitare al probei; Ambele solicitări, tracțiune și torsiune se realizează după un ciclu pulsant pozitiv între 0 și +F, Revenirea la zero se face ca urmare a tensiunilor elastice acumulate de către epruvetă.*

### 5.3. ANALIZA CU ELEMENTE FINITE A PROBEI SUPUSE LA SOLICITAREA DE TRACȚIUNE CU TORSIUNE

În programul Algor s-a făcut o analiză cu elemente finite a probei care va fi solicitată pe dispozitivul de încercare la oboseală și torsiune adaptabil mașinii universale de încercat. Proba/epruveta este încărcată static cu sarcini axiale și de torsiune. În figura 1 este prezentată rețeaua de discretizare, condițiile de rezemare și încărcările. Astfel, secțiunile mediane a probei i-a fost împiedicată deplasarea pe axa y și rotațiile pe axele z și x. Solicitarea este dată sub formă de presiuni pe suprafețele de capăt, *figura 5.4.*



**Fig. 5.4.** Rețeaua de discretizare

Din *figura 5.5* se observă că tensiunea von Mises este maximă în zona calibrată a epruvetei. Ca urmare, se verifică corectitudinea modului de lucru, respectiv al modelării, rezemării și încărcării probei. Proba are dimensiunea de 10 mm în zona calibrată și a fost supusă unei încărcări axiale totale 20 kN, rezultată din aplicarea unei presiuni de 50 N/mm<sup>2</sup> pe suprafața de (20x20)=400 mm<sup>2</sup> și unui moment de torsiune de 64 N·m rezultat prin aplicarea unei presiuni de 100 N/mm<sup>2</sup> pe două fețe opuse de arie totală 2x(20x17)=680 mm<sup>2</sup>. Ca urmare tensiunile normală și tangențială vor fi:

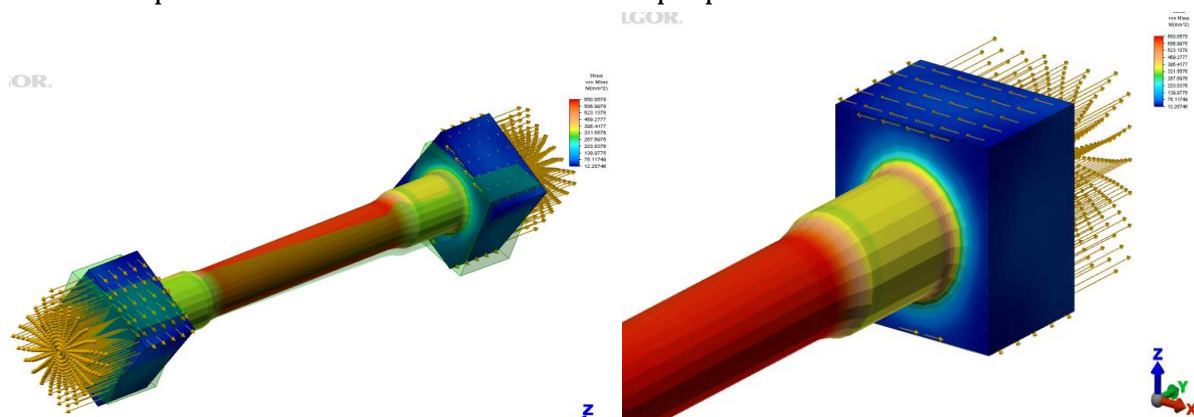
$$\sigma = \frac{F}{A} = \frac{20000}{\frac{\pi \cdot 10^2}{4}} = 254,64 \text{ N/mm}^2$$

$$\tau = \frac{M_t}{W_p} = \frac{68000}{\frac{\pi \cdot 10^3}{16}} = 346,32 \text{ N/mm}^2$$

Ca urmare, tensiunea von Mises va fi:

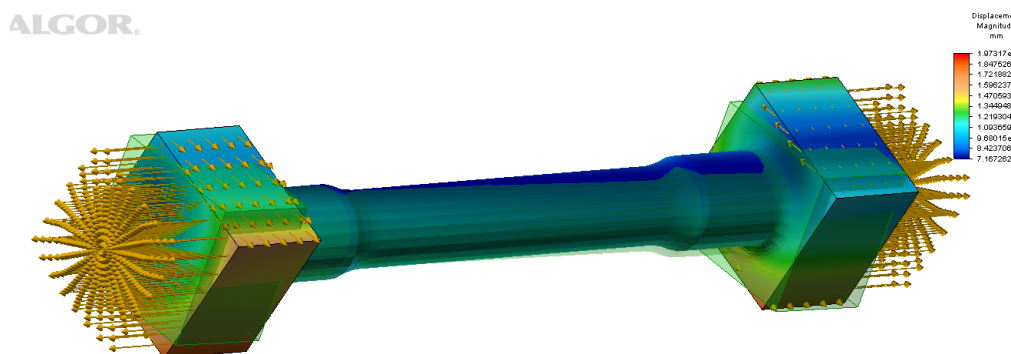
$$\sigma_{vM} = \sqrt{\sigma^2 + 3\tau^2} = 651,65 \text{ N/mm}^2$$

Din *figura 5.5* se constată că tensiunea este de 650,95 N/mm<sup>2</sup>, ca urmare, valorile calculate și cele rezultate prin analiza cu elemente finite sunt apropiate.



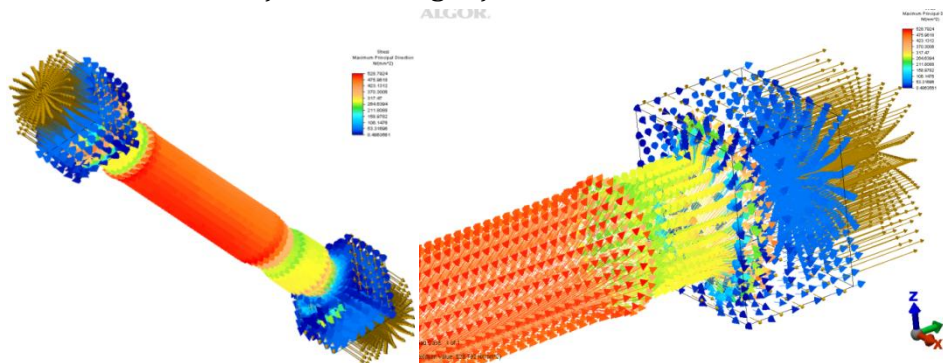
**Fig. 5.5.** Harta tensiunilor von Mises

În *figura 5.6* se prezintă deplasarea epruvetei după solicitare. Această mărime nu este elocventă pentru calculul deformațiilor specifice întrucât, epruveta fiind restricționată doar în secțiunea centrală, se poate deplasa liber în rest. Totuși, se constată faptul că, în raport cu poziția inițială capetele epruvetei se rotesc dar se și deplasează, în același timp.



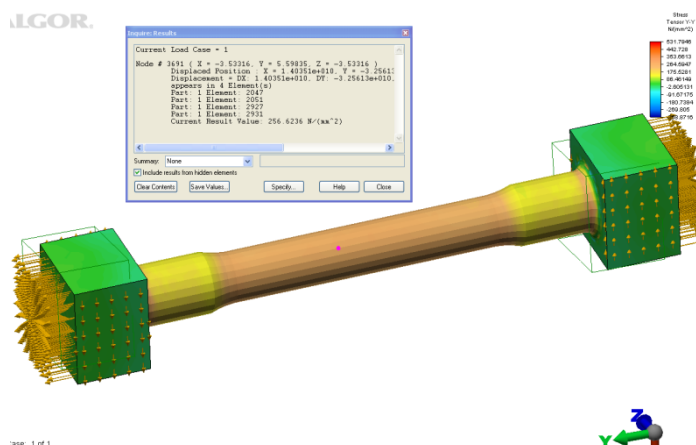
**Fig. 5.6.** Rotirea și deplasarea capetelor epruvetei

În *figura 5.7* sunt ilustrate direcțiile tensiunilor principale. Se observă că direcția tensiunii principale maxime înregistrată pe zona calibrată este una oarecare, rezultată din compunerea tensiunii normale și a celei tangențiale.



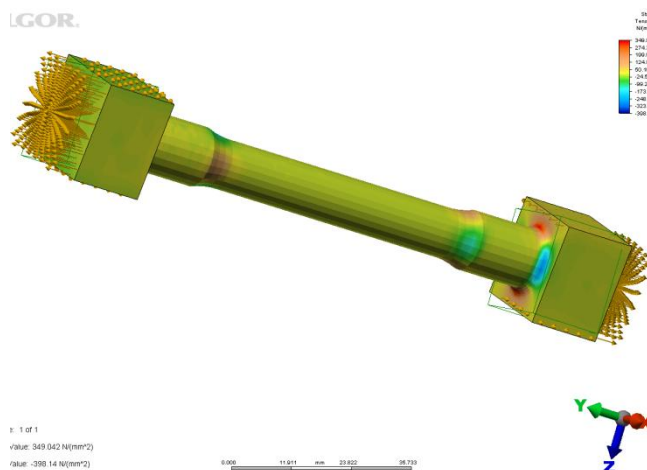
**Fig. 5.7.** Direcția tensiunilor principale

În *figura 5.8* este ilustrată harta tensiunilor normale  $\sigma_{xx}$ , axa XX fiind axa geometrică a barei. Se remarcă faptul că tensiunea normală pe porțiunea calibrată a epruvetei este de 256 MPa.



**Fig. 5.8.** Harta tensiunilor normale  $\sigma_{xx}$

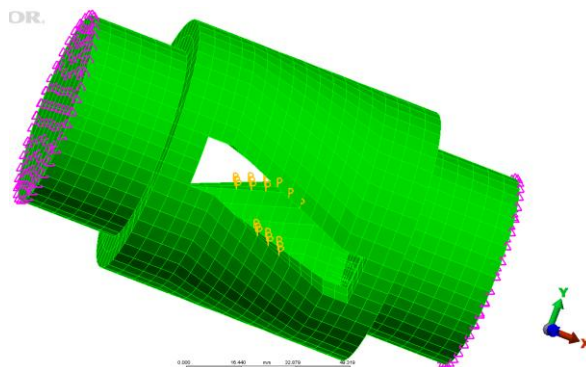
În *figura 5.9* este prezentată harta tensiunilor tangențiale  $\tau_{zx}$  pe direcția axei barei.



**Fig. 5.9.** Harta tensiunilor tangențiale  $\tau_{zx}$

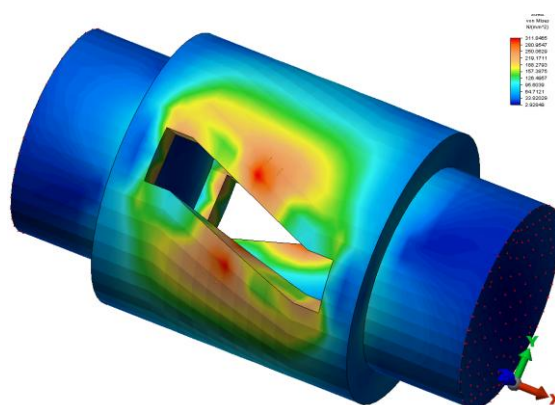
#### 5.4. ANALIZA CU ELEMENTE FINITE CAMA

În programul Algor s-a făcut o analiză cu elemente finite a camei utilizată în cadrul dispozitivului de încercare la oboseală și torsiune adaptabil mașinii universale de încercat. Cama este utilizată pentru a transforma mișcarea de translație a tijei centrale prin care se face solicitarea probei, într-o mișcare de translație și una de rotație. În *figura 5.10* este prezentată rețeaua de discretizare, condițiile de rezemare și încărcările. Astfel, secțiunile de capăt sunt încastrate, în zona în care se sprijină rulmentul radial, cama este încărcată cu o presiune pe suprafață de valoare  $200 \text{ N/mm}^2$ . Fiecare suprafață având o arie de  $90 \text{ mm}^2$  va rezulta o forță de apăsare totală de  $18 \text{ kN}$ .



**Fig. 5.10.** Rețeaua de discretizare, modul de încărcare și rezemare

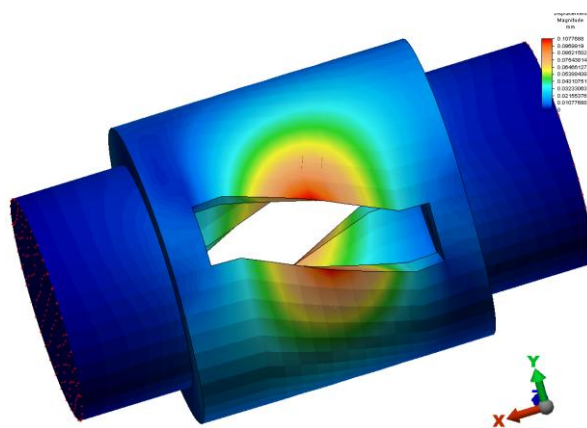
Harta tensiunilor von Mises este ilustrată în *figura 5.11*. Evident că tensiunile cele mai mari sunt în zona contactului cu rulmentul radial și sunt de  $311 \text{ MPa}$ . Important este ca tensiunile maxime din această zonă să nu ajungă la mai mult de  $(0,65 \cdot \sigma_c)$ , în care  $\sigma_c$  este tensiunea de curgere a materialului, având în vedere faptul că zona supusă tensiunilor maxime va lucra la solicitarea prin oboseală de compresiune după un ciclu pulsant.



**Fig. 5.11** Harta tensiunilor von Mises

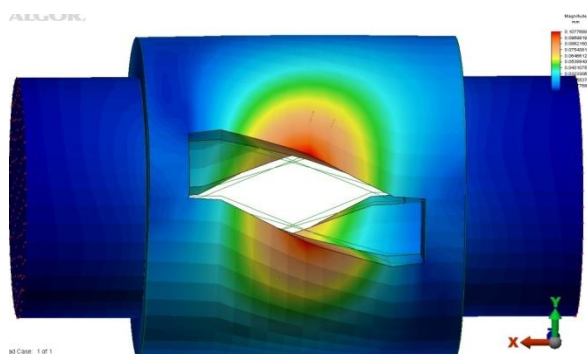
În *figura 5.12* este ilustrată harta deplasărilor de unde se constată că, în zona de acțiune a rulmenților radiali, deplasarea este relativ mare, de  $0,1 \text{ mm}$  sub acțiunea forței de apăsare impusă de  $18 \text{ kN}$ .





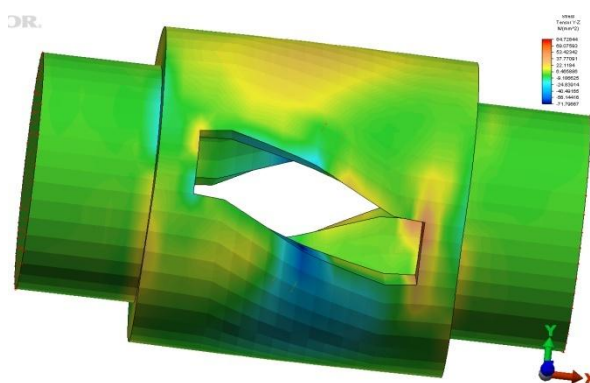
**Fig. 5.12.** Harta deplasărilor

În *figura 5.13* este ilustrată poziția flancurilor camei după deplasarea sub acțiunea forței de solicitare. În figură deplasarea este mărită în raport cu situația reală în care deplasarea maximă este de 0,1 mm. Se constată că sub acțiunea rulmentului radial se produce o comprimare a zonei flancurilor în care se face solicitarea.



**Fig. 5.13.** Deplasările în raport cu poziția inițială

În *figura 5.14*, este ilustrată harta tensiunilor tangențiale  $\tau_{zy}$ , secțiunile ZY fiind perpendiculare pe axa barei.



**Fig. 5.14.** Harta tensiunilor tangențiale  $\tau_{zy}$

În figura 5.15 este ilustrată harta tensiunilor normale  $\sigma_{xx}$ , axa XX reprezentând axa geometrică a barei..

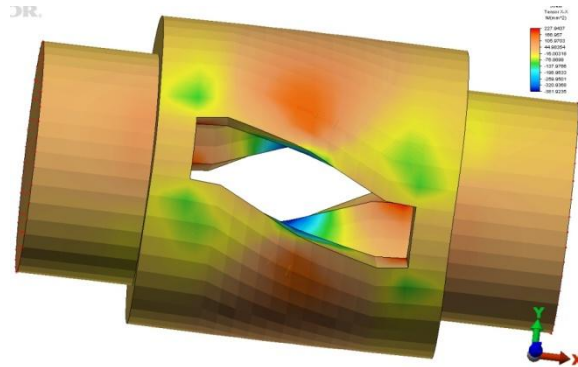


Fig. 5.15. Harta tensiunilor normale  $\sigma_{xx}$

### 5.5. CALCULUL TENSIUNII NORMALE (MAXIME) ȘI TENSIUNII TANGENȚIALE (MAXIME) LA SOLICITAREA EPRUVETEI PRIN OBOSEALĂ COMPUSĂ DE TRACȚIUNE-TORSIUNE

Încercarea la oboseală are loc în domeniul elastic. Atunci când are loc solicitarea, rulmentul de pe camă se va deplasa pe verticală cu  $v$  și se va roti cu unghiul  $\beta$ , figura 5.16. În figura 5.17 sunt puse în corespondență rotirea axului central (unghiul  $\varphi$ ) și unghiul  $\beta$  al camei.

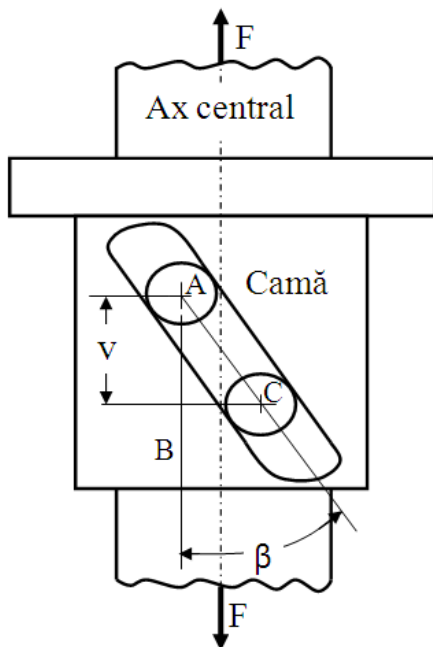


Fig. 5.16. Translarea și rotirea axului central

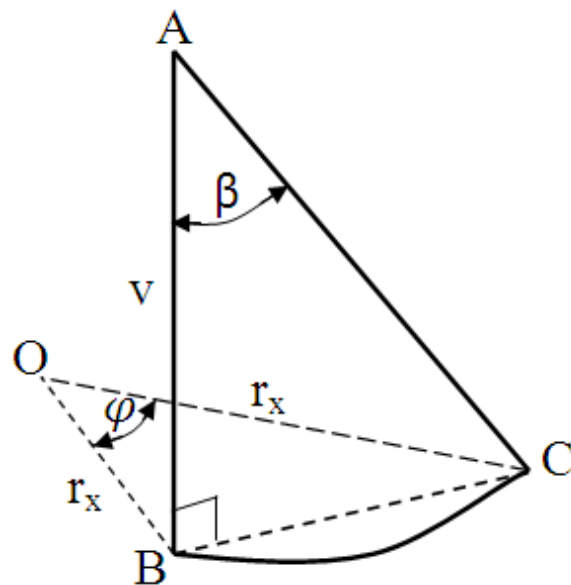


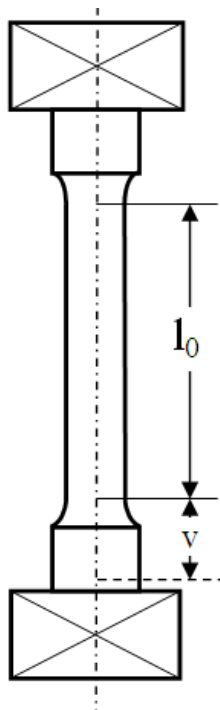
Fig. 5.17. Rotirea axului central

Distanța  $v$  este aceeași cu cea furnizată de mașina de încercat și aceeași cu alungirea epruvetei,  $\Delta l=v$ , figura 5.18 și figura 5.19.

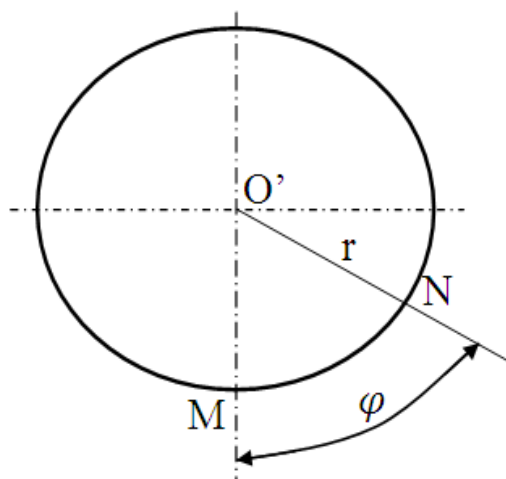
Deformația specifică a epruvetei va fi:

$$\varepsilon = \frac{v}{l_0} \quad (5.1)$$

unde  $l_0$  este lungimea porțiunii calibrate a epruvetei.



**Fig. 5.18.** Alungirea epruvetei



**Fig. 5.19.** Rotirea epruvetei

Tensiunea introdusă în epruvetă:

$$\sigma = \varepsilon \cdot E = \frac{v}{l_0} \cdot E \quad (5.2)$$

unde  $E$  reprezintă modulul lui Young.

Pentru determinarea tensiunii normale  $\sigma$  trebuie determinate sau măsurate următoarele mărimi:

- $E$  – modulul de elasticitate longitudinală (Young) se determină prin încercarea de tracțiune statică pe o probă standardizată în acest sens și confecționată din același material;
- $l_0$  – lungimea porțiunii inițiale, calibrate, a epruvetei care se măsoară;
- $v$  – deplasarea axului central care se ia din fișierul de date furnizat de mașina de încercat.

La parcurgerea distanței  $v$  atât axul central cât și epruveta se vor roti cu unghiul  $\varphi$ , *figura 5.17 și figura 5.19.*

Din *figura 5.17* se deduce, pe de o parte că:

$$BC = v \cdot \operatorname{tg}\beta \quad (5.3)$$

unde care  $\beta$  este unghiul de înclinare al camei, iar pe de altă parte:

$$\sin \frac{\varphi}{2} = \frac{BC}{2} \cdot \frac{1}{r_x} \quad (5.4)$$

de unde rezultă

$$BC = 2r_x \sin \frac{\varphi}{2} = v \cdot \operatorname{tg}\beta \quad (5.5)$$

în care  $r_x$  este raza axului central.

De aici va rezulta:

$$\varphi = 2 \arcsin \left( \frac{v \cdot \operatorname{tg}\beta}{2 \cdot r_x} \right) \quad (5.6)$$

Din solicitarea la torsiune avem:

$$\varphi = \frac{Mt \cdot l_0}{G \cdot I_p} = \frac{Mt \cdot l_0}{G \cdot W_p \cdot r} = \frac{\tau \cdot l_0}{G \cdot r} \quad (5.7)$$

în care avem:

- $Mt$  – momentul de torsiune;
- $l_0$  – lungimea calibrată a epruvetei;
- $G$  – modulul de elasticitate transversală;
- $I_p$  – momentul de inerție polar;
- $r$  – raza secțiunii transversale a epruvetei.

Din relațiile (5.6) și (5.7) va rezulta tensiunea tangențială introdusă în epruvetă:

$$\tau = \frac{2G \cdot r}{l_0} \cdot \arcsin \left( \frac{v \cdot \operatorname{tg}\beta}{2 \cdot r_x} \right) \quad (5.8)$$

Pentru determinarea tensiunii tangențiale  $\tau$  trebuie determinate sau măsurate următoarele mărimi:

- $G$  – modulul de elasticitate transversală se determină prin încercarea de torsiune statică pe o probă standardizată în acest sens și confecționată din același material sau pe baza relației:

$$G = \frac{E}{2(1+\nu)} \quad (5.9)$$

- $r$  – raza secțiunii transversale a epruvetei care se măsoară;
- $l_0$  – lungimea porțiunii inițiale, calibrate, a epruvetei care se măsoară;

- $v$  – deplasarea axului central care se ia din fișierul de date furnizat de mașina de încercat;
- $\beta$  - unghiul de înclinare al camei care este cunoscut ( $26^0$  sau  $32^0$ );
- $r_x$  - raza axului central care se măsoară (aprox. 15 mm).

Astfel, pe baza preluării deplasării  $v$  de la mașina de încercat și a măsurătorilor și determinărilor amintite, se pot calcula tensiunea normală (maximă) și tensiunea tangențială (maximă) la solicitarea epruvetei prin oboseală compusă de tracțiune-torsiune.

### 5.6. Exemplu pentru încercarea unui oțel cu: $E=21 \cdot 10^4 \text{ N/mm}^2$ și $G=8 \cdot 10^4 \text{ N/mm}^2$

Mărimi măsurabile:

- $r = 5 \text{ mm}$  – raza secțiunii transversale a epruvetei care se măsoară;
- $l_0 = 100 \text{ mm}$  - lungimea porțiunii inițiale, calibrate, a epruvetei care se măsoară;
- $v = 0,15 \text{ mm}$  – deplasarea axului central care se ia din fișierul de date furnizat de mașina de încercat;
- $\beta = 32^0$  - unghiul de înclinare al camei care este cunoscut ;
- $r_x = 15 \text{ mm}$  - raza axului central care se măsoară.

Deformația specifică a epruvetei va fi:

$$\varepsilon = \frac{v}{l_0} = \frac{0,15}{100} \quad (5.10)$$

unde  $l_0$  este lungimea porțiunii calibrate a epruvetei.

Tensiunea introdusă în epruvetă:

$$\sigma_{\max} = \varepsilon \cdot E = \frac{v}{l_0} \cdot E = \frac{0,15}{100} \cdot 21 \cdot 10^4 = 315 \text{ MPa} \quad (5.11)$$

*Calculul tensiunii normală și a tensiunii tangențială la solicitarea epruvetei prin oboseală compusă de tracțiune-torsiune utilizând cama cu unghi de  $32^0$*

Mărimile determinabile din Figura 2 sunt următoarele:

$$BC = v \cdot \operatorname{tg}\beta = 0,15 \cdot \operatorname{tg}(32) = 0,0937 \quad (5.12)$$

unde care  $\beta$  este unghiul de înclinare al camei, iar pe de altă parte:

$$\sin \frac{\varphi}{2} = \frac{BC}{2} \cdot \frac{1}{r_x} = \frac{0,0937}{2} \cdot \frac{1}{15} = 0,00312 \quad (5.13)$$

de unde rezultă:

$$\varphi = 2 \cdot \arcsin(0,00312) = 0,358^{\circ} \quad (5.14)$$

Tensiunea tangențială introdusă în epruvetă:

$$\tau_{\max} = \frac{2G \cdot r}{l_0} \cdot \arcsin\left(\frac{v \cdot \operatorname{tg}\beta}{2 \cdot r_x}\right) = \frac{2 \cdot 8 \cdot 10^4 \cdot 5}{100} \cdot \arcsin\left(\frac{0,15 \cdot \operatorname{tg}32}{2 \cdot 15}\right) = 24,99 \text{ MPa} \quad (5.15)$$

Se poate calcula raportul  $\sigma_{\max}/\tau_{\max}$ :

$$\frac{\sigma_{\max}}{\tau_{\max}} = \frac{315}{24,99} = 12,6 \quad (5.16)$$

*Calculul tensiunii normale și a tensiunii tangențiale la solicitarea epruvetei prin oboseală compusă de tracțiune-torsiune utilizând cama cu unghi de  $26^{\circ}$*

Pentru un alt raport se poate utiliza altă camă cu un unghi de înclinare  $\beta$  diferit. De exemplu, pentru un unghi de  $26^{\circ}$  calculele anterioare vor diferi dar în ceea ce privește tensiunea tangențială, presupunând în continuare deplasare a axului central cu 0,15 mm.

În cele ce urmează se prezintă aceste calcule.

$$BC = v \cdot \operatorname{tg}\beta = 0,15 \cdot \operatorname{tg}(26) = 0,0731 \quad (5.17)$$

unde care  $\beta$  este unghiul de înclinare al camei, iar pe de altă parte:

$$\sin \frac{\varphi}{2} = \frac{BC}{2} \cdot \frac{1}{r_x} = \frac{0,0731}{2} \cdot \frac{1}{15} = 0,00243 \quad (5.18)$$

de unde rezultă:

$$\varphi = 2 \cdot \arcsin(0,00312) = 0,279^{\circ} \quad (5.19)$$

Tensiunea tangențială intrdusă în epruvetă:

$$\tau_{\max} = \frac{2G \cdot r}{l_0} \cdot \arcsin\left(\frac{v \cdot \operatorname{tg}\beta}{2 \cdot r_x}\right) = \frac{2 \cdot 8 \cdot 10^4 \cdot 5}{100} \cdot \arcsin\left(\frac{0,15 \cdot \operatorname{tg}26}{2 \cdot 15}\right) = 19,51 \text{ MPa} \quad (5.20)$$

Se poate calcula raportul  $\sigma_{\max}/\tau_{\max}$ :

$$\frac{\sigma_{\max}}{\tau_{\max}} = \frac{315}{19,51} = 16,14 \quad (5.21)$$

Astfel, pe baza preluării deplasării  $v$  de la mașina de încercat și a măsurătorilor și determinărilor amintite, se pot calcula tensiunea normală (maximă) și tensiunea tangențială (maximă) la solicitarea epruvetei prin oboseală compusă de tracțiune-torsiune.

## CONCLUZII

Prezentul dispozitiv se aplică în domeniul încercărilor mecanice pentru determinarea limitei la oboseală prin solicitarea compusă de tracțiune-torsiune,  $\tau_{\text{techR}}$ . Caracteristicile dispozitivului, în raport cu alte posibilități de determinare a aceleiași mărimi, o reprezintă simplitatea, utilizând ideea originală de utilizare a unei came fixe și rigide care să oblige axul central ca, odată cu mișcarea de translație primită de la mașina de încercat să execute și o mișcare de rotație, obligat fiind de canalul înclinat din camă. Ambele mișcări vor fi transmise epruvetei elastice, inducând în aceasta atât o tensiune normală cât și o tensiune tangențială. Tensiunile normală și tangențială se calculează cu relațiile (2.10) și (2.18) în care se regăsesc: forța citită de la mașina de încercat, unghiul de înclinare al camei, brațul forței ce introduce moment de torsiune precum și diametrul epruvetei încercate.

Prin schimbarea camei cu canale având înclinații diferite se pot obține rapoarte diferite între tensiunea normală și cea tangențială.

Solicitarea compusă prin oboseală ciclică de tracțiune-torsiune obținută cu ajutorul acestui dispozitiv se va realiza, pentru ambele solicitări, după un ciclu pulsant pozitiv.

În concluzie, dispozitivul prezentat în cadrul acestei lucrări, este simplu și *adaptabil mașinii universale de încercat de tip pulsator*, eliminându-se posibilitatea utilizării de *mașini special construite* în acest scop, pe baza utilizării unei mașini universale ce furnizează parametri de încercare preciși se pot determina tensiunile tangențială și normală din probă, care, alături de numărul de cicluri, formează un punct de coordonate din diagrama Wöhler. În plus, prin schimbarea camelor cu unele având canale cu unghi de înclinare diferit, se pot obține rapoarte diferite între tensiunea normală și cea tangențială.

## Bibliografie

1. AMZA Gh., „Tehnologia materialelor – proiectarea proceselor tehnologice,, Editura BREN, București, 2001
2. ANTONESCU N. N., Nae I., Ionescu C. G., „Tehnologia fabricării utilajului tehnologic - îndrumar de lucrări practice”, Precizia prelucrărilor mecanice în construcția de mașini, Editura Universității din Ploiești, Ploiești, 2004
3. ANTONESCU N.N., Nae I., Drumeanu A. C., Petrescu M. G., Ionescu C. G., Lăzărescu G., „Toleranțe și control dimensional”, vol. I, II, Editura Universității din Ploiești, 1999
4. ANTONESCU N. N., Minescu M., Nae I., „Tehnologia construcției utilajelor și mașinilor - îndrumar de lucrări practice”, Editura Universității din Ploiești, 1997
5. BABEU T., „Rezistența Materilelor”, Lito. I.P. “T. V.” Timișoara, 1980

6. BELEAEV N. M., „Rezistența Materialelor” Vol. I-II, Ed. Tehnică, București, 1956
7. BIA C, ILLE V, SOARE M, „Rezistența Materialelor și Teoria Elasticității”, Ed. Didactică și Pedagogică, București, 1983
18. HAJDU I, „Rezistența Materialelor”, Lito I.P. “T.V.”, Timișoara, 1983
19. MOCANU D.R, „Rezistența Materialelor”, Ed. Tehnică, București, 1980
20. MOCANU, F., „Rezistența Materialelor”, Vol. II, pdf
21. NEACȘU M., PETRESCU. G., Nae I., „Mașini-unelte și prelucrări prin așchiere – Elemente de teoria așchierii”, Editura Universității din Ploiești, 2001
22. PETRESCU M. G., NAE I., „Mașini-unelte și prelucrări prin așchiere”, Editura Universității din Ploiești, Ploiești, 2004
23. TRIPA, P., „Rezistența materialelor”, Editura Mirton, Timișoara, 2001
24. TRIPA, P., HLUSCU M., „Rezistența Materialelor-Noțiuni Fundamentale și Aplicații”, Editura Mirton, Timișoara, 2007
25. TRIPA P. „Rezistența Materialelor”, Vol. I, Editura Mirton, Timișoara, 1999
26. VOINEA R, VOICULESCU D, SIMION F.P, „Introducere în mecanica solidului cu aplicații în inginerie”, Ed. Academiei R.S.R., București, 1989
27. ZECHERU, Gh., DRAGHICI, Gh., „Elemente de științe și ingineria materialelor”, vol. 1 și 2, Editura ILEX și Editura Universității din Ploiești, 2001
28. ZECHERU Gh., „Tehnologia materialelor”, Partea I și II, I.P.G. Ploiești, 1987

Sursa internet:

1. <https://ro.scribd.com/document/126893375/Deformarea-Plastica-Si-Ruperea-Materialelor-Metalice>
2. <http://www.scribub.com/tehnica-mecanica/RUPEREA-PRIN-SOLICITARE-LA-OBO61973.php>